



**Instituto de Física
USP**

Física I - 4300111

Informações Gerais
e
Coletânea de Exercícios

Euzi C. Fernandes da Silva
Rafael de Freitas
Roberto V. Ribas
Valmir A. Chitta

2^o semestre de 2013

Índice

1	Informações gerais	3
1.1	Introdução	3
1.2	Resumo do programa	3
1.3	Bibliografia	4
1.4	Critério de avaliação	4
1.5	Critério de aprovação	5
1.6	Calendário dos feriados escolares	6
1.7	Calendário das provas	6
1.7.1	Provas quinzenais	6
1.7.2	Prova Substitutiva	7
1.7.3	Prova de Recuperação	7
1.8	Equipe de professores da disciplina	7
1.9	Equipe de estagiários da disciplina	8
1.10	Horário e local das aulas	10
1.11	Plantões de dúvidas	11
1.12	Página da disciplina na internet	11
2	Coletânea de exercícios	12
2.1	Sistemas de partículas: conservação do momento linear	12
2.2	Sistema de partículas: colisões	16
2.3	Cinemática e dinâmica do movimento de corpos rígidos	20
2.4	Momento angular, sua conservação e aplicações . . .	29
2.5	Corpo rígido em equilíbrio	36
2.6	O oscilador harmônico	40
3	Sistema de massa variável: propulsão de um foguete	48
3.1	Exercício resolvido	51
3.2	Exercício proposto	52
4	Resumo sobre oscilações forçadas amortecidas	53
4.1	Forma trigonométrica de um número complexo . . .	54
4.2	Como achar a solução particular	55
5	Solução do exercício 16	58

6	Solução do exercício 27	61
7	Respostas dos exercícios	63
7.1	Sistemas de partículas: conservação do momento linear	63
7.2	Sistema de partículas: colisões	64
7.3	Cinemática e dinâmica do movimento de corpos rígidos	65
7.4	Momento angular, sua conservação e aplicações . . .	67
7.5	Corpo rígido em equilíbrio	69
7.6	O oscilador harmônico	71
8	Tabela de momentos de inércia	75

1 Informações gerais

1.1 Introdução

Este texto contém informações importantes sobre a disciplina de Física I. Nele estão apresentados o programa da disciplina, a bibliografia recomendada, os critérios de avaliação e de aprovação, o calendário das provas, a equipe de professores e estagiários, assim como uma coletânea de exercícios, que foi planejada para auxiliar o aprendizado de todo o conteúdo da disciplina. A maioria dos problemas e exercícios foram selecionados nos livros indicados na bibliografia desta coletânea.

1.2 Resumo do programa

1. Sistemas de partículas e centro de massa
2. Conservação do momento linear
3. Colisões elásticas e inelásticas em uma dimensão
4. Colisões elásticas e inelásticas em duas dimensões
5. Determinação do centro de massa de corpos rígidos
6. Impulso e média temporal de uma força
7. Rotação de um corpo rígido em torno de um eixo fixo
8. Torque e aceleração angular de um corpo rígido
9. Momento angular e energia de sistemas de partículas e corpos rígidos
10. Momento de inércia
11. Rolamento sem deslizamento
12. Oscilador harmônico simples

13. Oscilador amortecido e forçado
14. Ressonância

1.3 Bibliografia

A bibliografia básica do curso engloba os livros:

1. *Física I*, H. D. Young e R. A. Freedman, vol. 1, 10^a edição, Editora Addison Wesley (Sears e Zemansky);
2. *Física*, P. A. Tipler, vol. 1, Editora Guanabara Dois;
3. *Física*, D. Halliday e F. Resnick, vol. 1, 4^a Edição, Editora LTC;
4. *Física 1 - Mecânica e Gravitação*, R. Serway, Editora LTC;
5. *Curso de Física Básica*, H. M. Nussenzveig, vol. 1 e vol. 2, 2^a edição, Editora Blücher Ltda.;
6. *Curso de Física de Berkeley*, vol. 1.

1.4 Critério de avaliação

A avaliação será feita através de **Provas Quinzenais** com duração de 60 minutos.

1. **Provas Quinzenais:** Serão realizadas oito provas quinzenais, P_Q . A nota dessas provas, N_{P_Q} , resulta da média aritmética das sete melhores notas.
2. **Prova Substitutiva:** P_S , é uma prova única, no final do semestre, versando sobre toda a matéria.
3. **Prova de Recuperação:** P_R , é uma prova única, aplicada no período de recuperação, versando sobre toda a matéria.

OBS: Nos dias das Provas e das Provinhas os alunos devem apresentar um documento de identidade.

Outras questões que digam respeito ao bom aproveitamento do curso e que não se enquadram dentro das regras acima deverão ser resolvidas pela equipe de professores de Física I.

1.5 Critério de aprovação

O(A) aluno(a) que obtiver nota maior ou igual a 5,0 (cinco) na nota das provas quinzenais (média aritmética das sete melhores notas) e frequência mínima de 70% nas aulas está aprovado, ou seja:

$$N_{PQ} \geq 5,0 \Rightarrow \text{aprovado}$$

$$N_{PQ} < 5,0 \Rightarrow \text{substitutiva}$$

O(A) aluno(a) que fizer a substitutiva terá a sua média calculada da seguinte forma:

$$N_S = 0,5 * (N_{PQ} + P_S)$$

Dessa forma, se:

$$N_S \geq 5,0 \Rightarrow \text{aprovado}$$

$$3,0 \leq N_S < 5,0 \Rightarrow \text{recuperação}$$

$$N_S < 3,0 \Rightarrow \text{reprovado}$$

O(A) aluno(a) com $3,0 \leq N_S < 5,0$ poderá realizar a prova de recuperação, P_R e sua nota final será calculada da seguinte forma:

$$N_R = (N_S + 2P_R) / 3$$

de modo que:

$$N_R \geq 5,0 \Rightarrow \text{aprovado}$$

$$N_R < 5,0 \Rightarrow \text{reprovado}$$

1.6 Calendário dos feriados escolares

- 02-07/setembro - Semana da Pátria
- 12/outubro - Dia da Padroeira do Brasil
- 28/outubro - Dia do funcionário público
- 02/novembro - Finados
- 15 e 16/novembro - Proclamação da República
- 20/novembro - Consciência Negra

1.7 Calendário das provas

1.7.1 Provas quinzenais

Período diurno

- 1^a prova: 14 de agosto
- 2^a prova: 28 de agosto
- 3^a prova: 18 de setembro
- 4^a prova: 02 de outubro
- 5^a prova: 16 de outubro
- 6^a prova: 30 de outubro
- 7^a prova: 13 de novembro
- 8^a prova: 27 de novembro

Período noturno

- 1^a prova: 15 de agosto
- 2^a prova: 29 de agosto
- 3^a prova: 19 de setembro
- 4^a prova: 03 de outubro
- 5^a prova: 17 de outubro
- 6^a prova: 31 de outubro
- 7^a prova: 14 de novembro
- 8^a prova: 28 de novembro

Todas as provas quinzenais serão realizadas nas respectivas salas de aula.

1.7.2 Prova Substitutiva

Período diurno: 04 de dezembro as 10h00

Período noturno: 05 de dezembro as 21h00

As provas substitutivas serão realizadas no Auditório Abrahão de Moraes nos respectivos horários de aula.

1.7.3 Prova de Recuperação

A Prova de Recuperação será realizada no dia **05 de fevereiro de 2014 as 19:00 horas**, para todos os alunos dos períodos **DIURNO** e **NOTURNO**, no Auditório Abrahão de Moraes.

1.8 Equipe de professores da disciplina

Valmir A. Chitta (Turma T1)

Professor associado do Departamento de Física dos Materiais e Mecânica. Desenvolve pesquisa na área de materiais semicondutores, atuando principalmente nos seguintes temas: propriedades ópticas e de transporte, semicondutores magnéticos diluídos, nitretos, heteroestruturas semicondutoras, campos magnéticos intensos e baixas temperaturas.

Escritório: Edifício Mário Schenberg, sala 209.

Telefone: 3091-7999

e-mail: vhitta@if.usp.br

home page: <http://romeo.if.usp.br/~vhitta/>

Roberto V. Ribas (turma T2)

Professor Titular no Departamento de Física Nuclear, tem graduação, mestrado e doutorado em Física pela Universidade de São Paulo, pós-doutorado no Oak Ridge National Laboratory e nos Laboratori Nazionali Di Legnaro. Desenvolve pesquisa na área de

Física Nuclear, atuando principalmente nos seguintes temas: Estrutura Nuclear, Espectroscopia de Raios Gama, Instrumentação Nuclear.

Escritório: Edifício Oscar Sala, sala 120.

Telefone: 3091-6840

e-mail: rvribas@if.usp.br

home page: <http://www.dfn.if.usp.br/~ribas/>

Rafael Sá de Freitas (turma T3)

Professor doutor do Departamento de Física dos Materiais e Mecânica. Desenvolve pesquisa na área experimental de sistemas eletrônicos fortemente correlacionados, incluindo propriedades magnéticas e de transporte elétrico de óxidos de metais de transição e materiais magnéticos geometricamente frustrados.

Escritório: Edifício Mário Schenberg, sala 217.

Telefone: 3091-6889

e-mail: freitas@if.usp.br

Euzi C. Fernandes da Silva (turma T4)

Professora associada do Departamento de Física dos Materiais e Mecânica. Desenvolve pesquisa na área de materiais semicondutores com ênfase no estudo de heteroestruturas semicondutoras que servem de base para a fabricação de dispositivos (fotodetectores e lasers) do estado sólido que operam no infravermelho.

Escritório: Edifício Mário Schenberg, sala 210.

Telefone: 3091-6880

e-mail: euzicfs@if.usp.br

1.9 Equipe de estagiários da disciplina

Alberto Silva Pereira

Aluno de doutorado do Departamento de Física Nuclear desenvolvendo pesquisa na área de estados coerentes de sistemas com espectro contínuo.

Escritório: Edifício Principal, Ala II, sala 330.

Telefone: 3091-6736

e-mail: apereira@if.usp.br

André Schraider Maizel

Aluno de mestrado no Departamento de Física Geral desenvolvendo pesquisa na área de física estatística de sociedades baseadas em agentes.

Escritório: Edifício Principal, Ala I, sala 336.

Telefone: 3091-6803

e-mail: maizel@usp.br

Caio Vinicius Costa Lopes

Aluno de mestrado no Departamento de Física Nuclear desenvolvendo pesquisa na área de resposta não linear do vácuo a distribuições de correntes, e suas aplicações a pulsares e estrelas de quarks.

Escritório: Edifício Principal, Ala II, sala 326.

Telefone: 3091-7177

e-mail: caiocostalopes@usp.br

Jeferson Tiago da Silva

Aluno de mestrado no Departamento de Física dos Materiais e Mecânica desenvolvendo pesquisa na área de física dos materiais magnéticos.

Escritório: Edifício Mário Schenberg, sala 203.

Telefone: 3091-6875

e-mail: jeferson.tiago.silva@usp.br

Marcel Philippi Dorta

Aluno de mestrado no Departamento de Física Geral desenvolvendo pesquisa na área de propriedades físicas que desencadeiam alterações mecânicas em células vivas.

Escritório: Edifício Principal, Ala I, sala 240.

Telefone: 3091-0803

e-mail: mphdorta@gmail.com

Vinicius Wilian Dias Cruzeiro

Aluno de mestrado no Departamento de Física Geral desenvolvendo pesquisa na área de física atômica e molecular.

Escritório: Edifício Principal, Ala I, sala 240.

Telefone: 3091-0803

e-mail: vinicius_wilian@hotmail.com

1.10 Horário e local das aulas

Período diurno:

- **Turma T1 - Prof. Valmir A. Chitta**

- 2^{as} e 4^{as} das 10h00 às 12h00
- 6^{as} das 14h00 às 16h00
- Auditório Giuseppe Occhialini (Sul), Edifício Principal, Ala Central

- **Turma T3 - Prof. Rafael Sá de Freitas**

- 2^{as} e 4^{as} das 10h00 às 12h00
- 6^{as} das 14h00 às 16h00
- Sala 206 do Edifício Principal, Ala Central

Período noturno:

- **Turma T2 - Prof. Roberto V. Ribas**

- 2^{as} das 19h00 às 21h00
- 5^{as} e 6^{as} das 21h00 às 23h00
- Auditório Gleb Wataghin (Norte), Edifício Principal, Ala Central

- **Turma T4 - Euzi C. F. da Silva**
 - 2^{as} e 4^{as} das 19h00 às 21h00
 - 5^{as} das 21h00 às 23h00
 - Sala 202 do Edifício Principal, Ala II

1.11 Plantões de dúvidas

Os plantões para resolver dúvidas serão:

Diurno

- Horário: 4^{as} e 6^{as} das 13h00 as 14h00
- Local: Edifício Principal, Ala Central, sala 206

Noturno

- Horário: 2^{as} e 5^{as} das 18h00 as 19h00
- Local: Edifício Principal, Ala II, sala 202

1.12 Página da disciplina na internet

A disciplina contará com uma página na internet, onde diversas informações, além das contidas neste livreto, serão anunciadas, tais como alterações de datas de provas, notas, gabaritos, etc. Deste modo, é importante consultá-la periodicamente. Para acessá-la entre na página <http://social.stoa.usp.br/> escolha **Moodle do Stoa**, depois **IF**, depois **430** e, finalmente, **Física I**.

2 Coletânea de exercícios

2.1 Sistemas de partículas: conservação do momento linear

1. Ache as coordenadas do centro de massa dos sistemas mostrados nas figuras abaixo. Em (a) todas as massas são pontuais, em (b) os fios tem a mesma densidade linear uniforme de massa e em (c) a placa tem densidade superficial uniforme de massa.

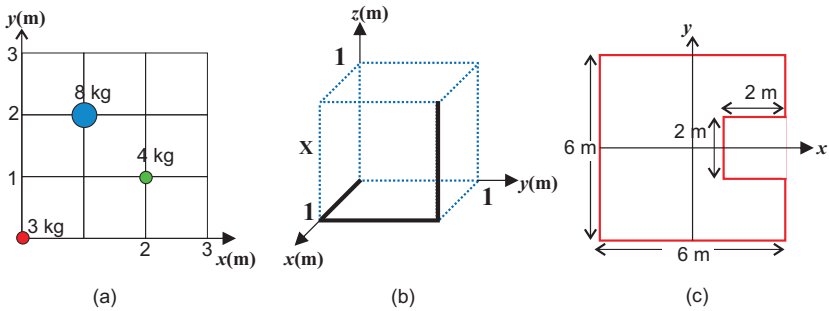


Figura 1: Exercício 1.

2. As massas $m_1 = 10 \text{ kg}$ e $m_2 = 6 \text{ kg}$ estão ligadas por uma barra rígida de massa desprezível. Inicialmente em repouso, elas são submetidas às forças $\vec{F}_1 = 8 \hat{i} \text{ (N)}$ e $\vec{F}_2 = -6 \hat{j} \text{ (N)}$, como indicado na figura.
 - (a) Escreva as coordenadas do centro de massa como função do tempo.
 - (b) Expresse a quantidade de movimento total como função do tempo.
3. Um avião explode no ar e se divide em três partes, cujas massas e velocidades, imediatamente depois da explosão, são (unidades no SI):

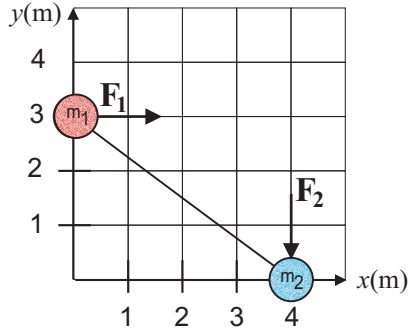


Figura 2: Configuração inicial das massas do exercício 2.

$$m_1 = 4000 \text{ kg}, \quad \vec{v}_1 = 200 \hat{i} + 25 \hat{k};$$

$$m_2 = 2000 \text{ kg}, \quad \vec{v}_2 = -50 \hat{i} + 50 \hat{j} - 25 \hat{k};$$

$$m_3 = 2000 \text{ kg}, \quad \vec{v}_3 = -50 \hat{i} - 25 \hat{k}.$$

- (a) Qual era a velocidade do avião ao explodir?
 - (b) Qual era o seu momento linear?
4. Um corpo de massa 5 kg desloca-se para a direita com velocidade de 5 m/s, perseguindo outro corpo de 3 kg, que se desloca também para a direita a 1 m/s. Determine:
- (a) A energia cinética dos dois corpos nesse referencial e a velocidade do centro de massa;
 - (b) A velocidade de cada um dos corpos em relação ao centro de massa;
 - (c) A energia cinética do movimento em relação ao centro de massa;
 - (d) A energia cinética do movimento do centro de massa.

5. Um corpo de 3 kg escorrega ao longo de um plano horizontal sem atrito com velocidade $\vec{v} = (4 \text{ m/s}) \hat{i}$. Num certo instante, explode, dividindo-se em duas partes, uma de massa 2 kg e outra de massa 1 kg. Depois da explosão, o pedaço de 1 kg desloca-se com velocidade $\vec{v} = (8 \text{ m/s}) \hat{j}$.
- (a) Qual a velocidade do pedaço de 2 kg depois da explosão?
 - (b) Qual a velocidade do centro de massa depois da explosão?
6. Um projétil de 6 kg é disparado num ângulo $\theta = 30^\circ$ com a horizontal, com velocidade inicial de 40 m/s. No topo da sua trajetória, o projétil explode em dois fragmentos com massas de 2 kg e 4 kg. Os fragmentos deslocam-se na horizontal, imediatamente depois da explosão, e o fragmento de 2 kg cai no lugar do disparo do projétil. Determine:
- (a) O local onde cai o fragmento de 4 kg;
 - (b) A energia liberada na explosão.
7. Um homem com 70 kg e um garoto de 35 kg, estão juntos sobre uma superfície gelada, na qual o atrito é desprezível. Um empurra o outro, e o homem se desloca para trás, com velocidade de 0,3 m/s, em relação ao gelo.
- (a) Qual a separação dos dois depois de 5 s?
 - (b) A energia mecânica do sistema se conserva?
8. Um remador de 75 kg, sentado na popa de uma canoa de 150 kg e 3 m de comprimento, conseguiu trazê-la para uma posição em que está parada perpendicularmente à margem de um lago, que nesse ponto forma um barranco, com a proa encostada numa estaca, onde o remador quer amarrar a canoa. Ele se levanta e caminha até a proa, o que leva a canoa a afastar-se da margem. Chegando à proa, ele consegue esticando o braço, alcançar até uma distância de 80 cm da proa.

Conseguirá agarrar a estaca? Caso contrário, quanto falta? Despreze a resistência da água e considere o centro de massa da canoa como localizado em seu ponto médio.

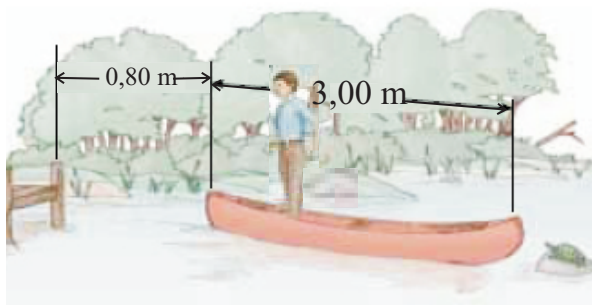


Figura 3: Remador do exercício 8.

9. Um garoto de massa 30 kg, correndo a 2,5 m/s, salta sobre um carrinho de massa 10 kg, que estava parado, permanecendo sobre ele.
- (a) Determine a velocidade do conjunto carrinho+garoto depois que ambos estiverem andando juntos.
 - (b) Em seguida, o garoto começa a andar sobre o carrinho com a velocidade de 0,5 m/s, relativa ao carrinho, dirigindo-se para frente do mesmo. Qual a nova velocidade do carrinho?
 - (c) Quando o garoto chega na extremidade do carrinho, ele pula para frente com velocidade de 1 m/s em relação ao carrinho. Com que velocidade o carrinho fica depois disso?
10. Um atirador, com um rifle de 2 kg apoiado ao ombro, dispara uma bala de 15 g, cuja velocidade na boca da arma é $\vec{v}_0 = 800 \hat{i}$ (m/s).

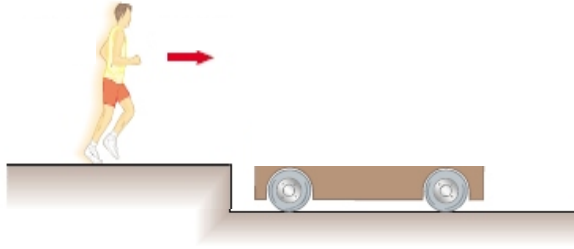


Figura 4: Garoto saltando sobre o carrinho do exercício 9.

- (a) Com que velocidade inicial a arma recua?
 - (b) Que impulso transmite ao ombro do atirador?
 - (c) Se o impulso é absorvido pelo ombro em 0,05 s, qual é a força média exercida sobre ele?
11. Um canhão montado em uma carreta, apontado numa direção horizontal, atira uma bala de 50 kg, cuja velocidade na boca do canhão é $\vec{v}_0 = 300 \hat{i}$ (m/s). A massa total do canhão e da carreta é de 5 toneladas. Calcule:
- (a) A velocidade inicial de recuo da carreta;
 - (b) A distância que a carreta recua, se o coeficiente de atrito cinético é 0,7.

2.2 Sistema de partículas: colisões

12. Uma bala de 10 g é disparada sobre um pêndulo balístico de massa 990 g.
- (a) Se a velocidade inicial da bala é 300 m/s, qual a altura atingida pelo pêndulo (junto com a bala) depois da colisão?

- (b) Se a velocidade inicial da bala é 200 m/s , determine a altura máxima atingida pelo pêndulo quando a bala passa através dele e emerge com velocidade de 50 m/s .

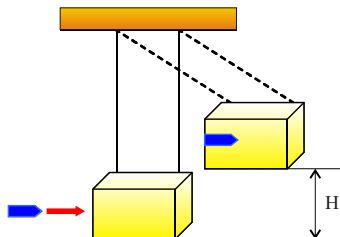


Figura 5: Pêndulo balístico do exercício 12.

13. Um vagão de 20 toneladas está freado no topo de uma descida. Quando o carro é solto, ele rola, descendo 9 m em relação à posição original. Na parte mais baixa da ladeira, ele engata em outro vagão, de 10 toneladas, que está livre nos trilhos. Os dois, engatados, sobem uma ladeira até uma altura H . Calcular H .
14. Um bloco de madeira, de massa 1 kg , está ligado a uma mola de constante de força 200 N/m e repousa sobre uma superfície horizontal lisa, sem atrito. Uma bala de 20 g atinge o bloco e comprime a mola de $13,3 \text{ cm}$. Determine:
- A velocidade da bala antes da colisão;
 - A fração da energia mecânica inicial se perde na colisão.

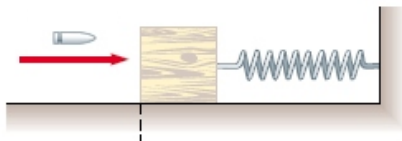


Figura 6: Sistema massa-mola do exercício 14.

15. Um corpo de 4 kg, deslocando-se a 5 m/s, na horizontal, efetua uma colisão perfeitamente elástica com um corpo de 1 kg, inicialmente em repouso. Determine a velocidade final de cada corpo e a energia transferida para o corpo de 1 kg.
16. Considere o espalhamento elástico entre uma partícula alfa de massa $m_1 = 4 m$ por um neutron em repouso, de massa $m_2 = m$ como mostra a figura 7.
- Qual é o ângulo máximo θ_1 de espalhamento?
 - Neste ângulo, que fração da energia cinética incidente vai para o neutron?
 - Qual é o ângulo θ_2 entre a direção de recuo e a de incidência?

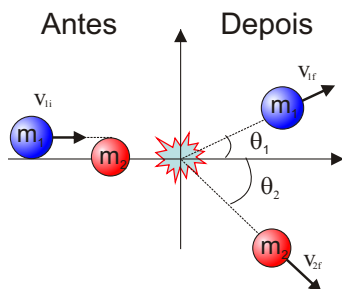


Figura 7: Espalhamento bidimensional do exercício 16.

17. Durante a madrugada, um carro de luxo de massa 2.400 kg, bate na traseira de um carro de massa 1.200 kg, que estava parado. O motorista do carro de luxo alega que o outro estava com as luzes apagadas, e que ele vinha reduzindo a marcha ao aproximar-se do sinal, estando a menos de 10 km/h quando o acidente ocorreu. A perícia constata que o carro de luxo arrastou o outro de uma distância de 10,5 m, e estima que o coeficiente de atrito cinético com a estrada, no local do acidente, era 0,6. Calcule a que velocidade o carro de luxo vinha realmente correndo.

18. Um caminhão carregado, de massa $M = 3$ ton, viajando para o norte a 60 km/h, colide, num cruzamento, com um carro de massa total $m = 1$ ton, que vinha trafegando para leste a 90 km/h. Calcule em que direção e de que distância o carro é arrastado pelo caminhão, sabendo que o coeficiente de atrito cinético no local do acidente é $0,5$.
19. Uma bola deslocando-se a 10 m/s, faz um colisão perfeitamente elástica, mas oblíqua, com uma outra bola de mesma massa e em repouso. A bola incidente é desviada de um ângulo $\theta_1 = 30^\circ$ em relação à direção inicial do movimento. Determinar a velocidade de cada bola depois da colisão o ângulo de recuo θ_2 .
20. Num choque entre duas partículas de massas $m_1 = 0,8$ kg e $m_2 = 1,2$ kg, o primeiro desvia 90° de sua trajetória original, mantendo inalterada sua energia cinética. Se as velocidades iniciais dos corpos eram, respectivamente,
 $\vec{v}_1 = (3,0 \text{ m/s}) \hat{i}$,
 $\vec{v}_2 = (2,0 \text{ m/s}) \hat{i} - (1,0 \text{ m/s}) \hat{j}$:
- (a) Calcule o vetor velocidade de m_2 após a colisão;
 - (b) Verifique se o choque foi elástico ou inelástico.
21. Uma bala de massa $4,5$ g é disparada horizontalmente num bloco de madeira de massa $2,4$ kg, em repouso sobre a superfície horizontal. O coeficiente de atrito cinético entre o bloco e a superfície vale $0,20$. A bala fica retida no bloco, que sofre um deslocamento de $1,8$ m até parar.
- (a) Qual a velocidade do bloco imediatamente após a bala parar em seu interior?
 - (b) Qual a velocidade inicial da bala?
22. Uma bola de massa $m = 0,5$ kg é presa a um pino por um fio leve e inextensível de $0,8$ m de comprimento. A bola é abandonada quando o fio está na horizontal. Na parte mais baixa

da trajetória a bola atinge um bloco de massa $M = 2,0 \text{ kg}$, inicialmente em repouso sobre uma superfície áspera. A colisão, entre a bola e o bloco, pode ser considerada como perfeitamente elástica. O coeficiente de atrito cinético entre o bloco e a superfície é $\mu_c = 0,16$.

- Qual o trabalho realizado pelas forças que atuam sobre a bola?
- Quais as velocidades dos corpos após a colisão?
- Até que altura sobe a bola após a colisão?
- Qual a distância percorrida pelo bloco depois da colisão?

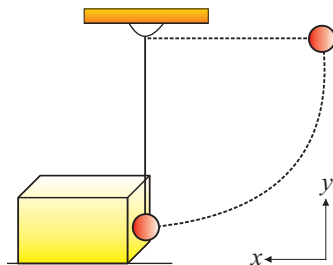


Figura 8: Colisão do exercício 22.

2.3 Cinemática e dinâmica do movimento de corpos rígidos

- No sistema mostrado na figura 9, os corpos estão ligados por barras muito leves cujos momentos de inércia podem ser desprezados. O sistema gira em torno do eixo y com velocidade angular $\omega = 2 \text{ rad/s}$.
 - Considere que no instante $t=0 \text{ s}$, os corpos estejam nas posições indicadas na figura. Determine o vetor velocidade de cada partícula usando o produto vetorial $\vec{v} = \vec{\omega} \times \vec{r}$.

- (b) Use a velocidade escalar de cada corpo para calcular a energia cinética do sistema.
- (c) Determine o momento de inércia do sistema em torno do eixo y e calcule a energia cinética do sistema utilizando a relação $E = \frac{I\omega^2}{2}$.

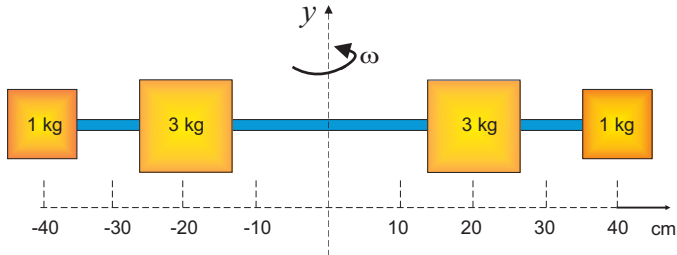


Figura 9: Massas girando em torno do eixo y do exercício 23.

24. Quatro esferas pequenas de massa m estão presas às extremidades de uma estrutura de massa desprezível, no plano xy , como mostrado na figura 10.
- (a) Se a rotação do sistema ocorre ao redor do eixo y com velocidade angular ω , encontre o momento de inércia I_y ao redor do eixo y e a energia cinética rotacional ao redor desse eixo.
- (b) Supondo que o sistema gire no plano xy , com velocidade angular ω , ao redor de um eixo passando por O (eixo z), calcule o momento de inércia I_z ao redor do eixo z e a energia rotacional ao redor desse eixo.
25. Uma barra fina, com uma distribuição de massa uniforme, tem massa M e comprimento L . Calcule o seu momento de inércia em relação a um eixo que passa pelo centro da barra (eixo z). Usando o Teorema dos eixos paralelos, determine o momento de inércia em relação ao eixo z' .

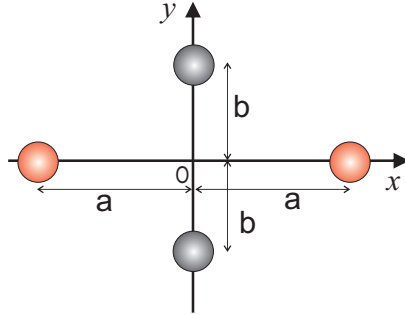


Figura 10: Esferas girando, do exercício 24.

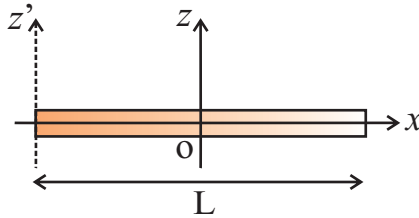


Figura 11: Barra delgada do exercício 25.

26. Um cilindro cheio, com uma distribuição de massa uniforme, tem um raio R , massa M , e comprimento L . Calcule seu momento de inércia em relação ao eixo z central.
27. (a) Mostre que o momento de inércia de um cilindro vazio de massa M , de raio interno R_1 e externo R_2 , em relação ao eixo z que passa pelo seu centro, é dado por:

$$I_z = \frac{1}{2}M(R_1^2 + R_2^2).$$

- (b) Um cilindro maciço de raio R_2 e massa M tem momento de inércia $I_z = \frac{1}{2}MR_2^2$, em relação ao eixo z que passa pelo seu centro. Como você explica que se eu fizer um buraco de raio R_1 em um cilindro maciço, o momento de inércia parece aumentar de uma quantidade $I_z = \frac{1}{2}MR_1^2$?

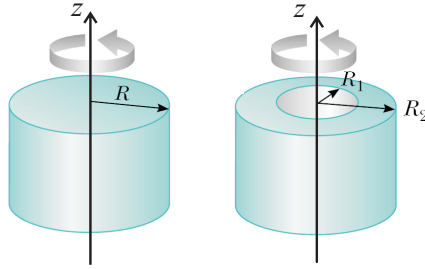


Figura 12: Cilindro maciço e cilindro vazado do exercício 27.

28. Utilizando apenas o resultado do exercício 26, calcule o momento de inércia de um cilindro uniforme vazado de massa M , de raio interno R_1 e externo R_2 , em relação ao eixo z (figura do exercício 27).
29. Um disco uniforme, de raio $R=0,12$ m e massa $m = 5$ kg, está apoiado de modo a poder girar livremente em torno de seu eixo. Uma corda está enrolada em torno do disco e é puxada com uma força de 20 N, como mostra a figura.
- Qual é o torque exercido sobre o disco?
 - Qual é a aceleração angular do disco?
 - Se o disco parte do repouso, qual é a sua velocidade angular e sua energia cinética depois de 3 s?
 - Determine o deslocamento angular $\Delta\vec{\theta}$ do cilindro nesses 3 s. Verifique que o trabalho efetuado pelo torque ($W = \vec{\tau} \cdot \Delta\vec{\theta}$), neste intervalo de tempo, é igual a variação da energia cinética calculada no item (c).
30. Um cilindro de massa $m = 2$ kg gira em torno de um eixo que passa pelo seu centro. Sobre ele são aplicadas as forças indicadas na Figura 14 onde $R_a = 5$ cm e $R_b = 12$ cm.
- Qual é o torque resultante exercido sobre o cilindro?
 - Qual é o vetor aceleração angular do cilindro?

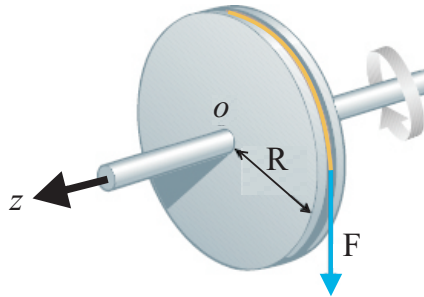


Figura 13: Disco do exercício 29.

- (c) Sabendo que a velocidade angular inicial do cilindro era $\vec{\omega}_0 = -4 \hat{k}$ (rad/s), determine $\vec{\omega}(t)$.
- (d) Qual é a sua energia cinética depois de 3 s?
- (e) Determinar o deslocamento angular $\Delta\vec{\theta}$ do cilindro nesses 3 s. Calcule o trabalho efetuado pelo torque ($W = \vec{\tau} \cdot \Delta\vec{\theta}$), neste intervalo de tempo, e verifique que é igual à variação da energia cinética calculada no item (d).

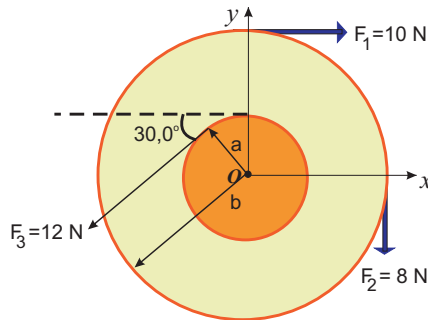


Figura 14: Cilindro sob a ação de forças do exercício 30.

31. Um disco uniforme de 100 kg e raio 0,60 m está sobre uma superfície de gelo lisa. Duas patinadoras gêmeas enrolam cordas em torno do disco, num mesmo sentido. Depois cada

qual puxa a sua corda e se afasta do disco, exercendo sobre ele forças constantes de 40 N e 60 N durante 5 s.

- (a) Determine a aceleração, a velocidade e a posição do centro de massa em função do tempo.
- (b) Quais são a aceleração angular e a velocidade angular em função do tempo?
- (c) Quantas voltas em torno de seu eixo o cilindro faz durante este tempo?
- (d) Calcule a energia cinética do cilindro quando $t = 5$ s.

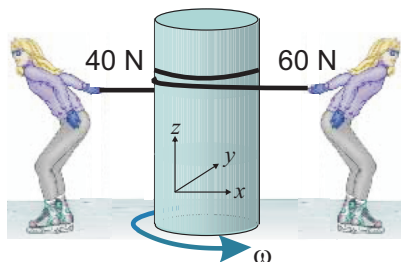


Figura 15: Patinadoras puxando o cilindro do exercício 31.

32. Uma pedra de amolar circular, de massa 2 kg e raio 7 cm, gira a 700 rev/min. Depois de a potência do motor ter sido desligada, uma pessoa continua a afiar o seu machado, contra a pedra, durante 10 segundos, quando então o rebolo pára. Encontre:
- (a) A energia cinética de rotação no momento em que o motor é desligado;
 - (b) A aceleração angular da pedra, admitindo que seja constante;
 - (c) O torque exercido pelo machado sobre a pedra de amolar;

- (d) O trabalho realizado pelo machado.
33. Dois corpos de massas m_1 e m_2 , estão ligados a cordas que passam por polias montadas num eixo comum. O momento de inércia total das duas polias é de $40 \text{ kg}\cdot\text{m}^2$ e os raios são $R_1 = 0,4 \text{ m}$ e $R_2 = 1,2 \text{ m}$.
- (a) Se $m_1 = 24 \text{ kg}$, determine m_2 de modo que o sistema fique em equilíbrio.
- (b) Se ao corpo m_1 for adicionado outro de 12 kg , qual será a aceleração angular das polias e qual será a tensão nas cordas?

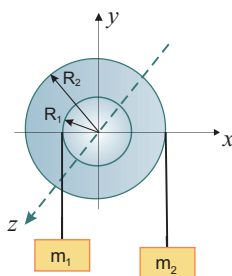


Figura 16: Cilindro sob a ação de forças exercício 33.

34. Dois blocos estão ligados por um fio de massa desprezível através de uma polia de raio $0,25 \text{ m}$ e momento de inércia I . O bloco sobre o plano inclinado, sem atrito, está subindo com uma aceleração constante de $2,00 \text{ m/s}^2$. Determine:
- (a) As tensões T_1 e T_2 nas duas partes do fio;
- (b) O momento de inércia da polia.
35. Calcule o efeito da massa M da polia, de raio R , sobre o sistema mostrado na figura 18, onde a massa m_1 , que desliza sem atrito, está ligada à massa suspensa m_2 , pelo fio que passa sobre a polia, determinando:

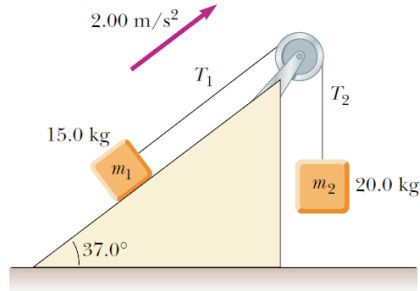


Figura 17: Esquema de massas e polia do exercício 34.

- (a) A aceleração do sistema e as tensões T_1 e T_2 nos fios ligados a m_1 e m_2 , respectivamente, utilizando a segunda lei de Newton;
 - (b) O torque externo resultante que atua sobre o sistema (os dois corpos e a polia) em relação ao centro da polia;
 - (c) O momento angular total do sistema em relação ao centro da polia quando as massas deslocam-se com a velocidade escalar v ;
 - (d) A aceleração do sistema a partir dos resultados dos itens (b) e (c), fazendo o torque resultante igual à taxa de variação do momento angular do sistema.
36. O sistema da Figura 19 principia a movimentar-se do repouso. O corpo de massa $m_2 = 30$ kg está dois metros acima do solo. O corpo apoiado no solo tem massa $m_1 = 20$ kg e a polia é um disco uniforme com um raio $R = 10$ cm e massa $M = 5$ kg. Determinar:
- (a) A velocidade escalar do corpo de massa m_2 imediatamente antes de atingir o solo e a velocidade escalar angular da polia neste instante;
 - (b) As tensões nos cabos;

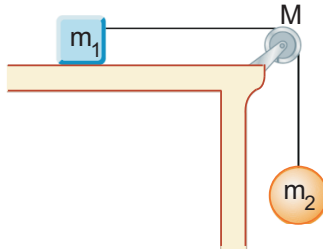


Figura 18: Esquema de massas e polia do exercício 35.

- (c) O tempo que o corpo de massa m_2 leva para atingir o nível do solo.

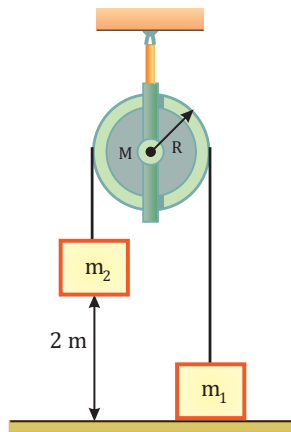


Figura 19: Esquema de massas e polia do exercício 36.

2.4 Momento angular, sua conservação e aplicações

37. Uma partícula de massa m move-se com velocidade constante em uma trajetória retilínea. De acordo com a figura 20, qual é o momento angular dessa partícula em relação ao ponto O ? E em relação ao ponto O' ?

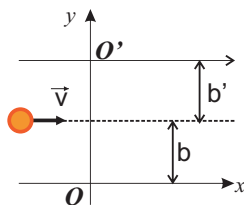


Figura 20: Partícula em MRU do exercício 37.

38. Uma partícula de massa m move-se num círculo de raio R com velocidade angular ω , como mostra a figura 21. Calcule:
- O torque que atua sobre essa partícula em relação à origem O ;
 - O vetor momento angular em relação à origem O .

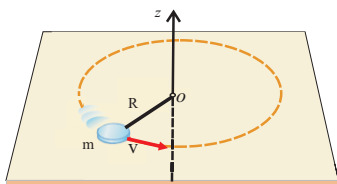


Figura 21: Partícula em movimento circular do exercício 38.

39. Uma bolinha presa a um fio de massa desprezível gira em torno de um eixo vertical com velocidade escalar constante,

formando um ângulo $\theta_0 = 30^\circ$ com a vertical e mantendo-se a uma distância $d = 0,5 \text{ m}$ do eixo. O fio passa, sem atrito, através de um orifício O numa placa e é puxado lentamente para cima até que o ângulo com a vertical passe a ser $\theta = 60^\circ$.

- Que comprimento $\delta \ell$ do fio foi puxado?
- Qual é a razão entre as velocidades de rotação final e inicial (ω_f/ω_i)?

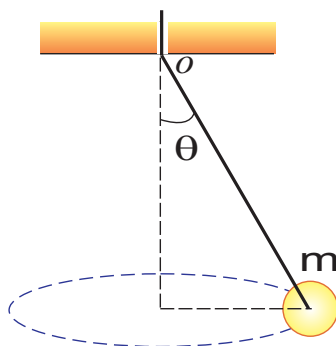


Figura 22: Pêndulo cônico do exercício 39.

- Dois patinadores, cada um de massa $m = 60 \text{ kg}$, deslizando sobre uma pista de gelo, com atrito desprezível, aproximam-se com velocidades iguais e opostas de módulo $v = 5 \text{ m/s}$, segundo retas paralelas, na direção x as quais estão separadas por uma distância $d = 1,40 \text{ m}$.
 - Calcule o vetor momento angular do sistema e mostre que é o mesmo em relação a qualquer ponto e se conserva.
 - Quando os dois patinadores chegam a uma distância $d = 1,40 \text{ m}$ um do outro, estendem os braços e dão-se as mãos, passando a girar em torno do centro de massa do sistema. Calcule a velocidade angular.

- (c) Calcule a energia cinética do sistema antes e depois dos patinadores se unirem. Explique o resultado.
41. Um disco com momento de inércia I_1 está girando com velocidade angular inicial ω_1 , em torno de um eixo central sem atrito. Num certo instante, este disco cai sobre outro disco, de momento de inércia I_2 , que está inicialmente em repouso, no mesmo eixo. Em virtude do atrito entre as superfícies, os dois discos terminam por atingir uma velocidade angular constante ω_f , comum a ambos.
- (a) Determine ω_f .
- (b) A energia cinética do sistema se conserva?

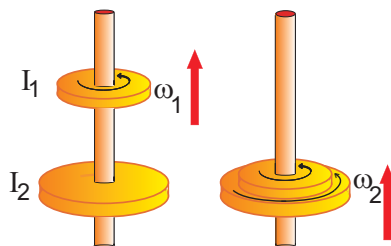
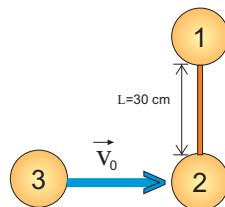


Figura 23: Discos girando do exercício 41.

42. Uma porta de 15 kg e 70 cm de largura, suspensa por dobradiças bem azeitadas, está aberta de 90° , ou seja, com seu plano perpendicular ao plano do batente. Ela leva um empurrão na beirada aberta, com impacto equivalente ao de uma massa de 1 kg com velocidade de 2,5 m/s. Quanto tempo ela leva para fechar-se?
43. Um haltere é formado por dois discos iguais, cada um massa m , rotulados por 1 e 2, unidos por uma barra rígida de massa desprezível e comprimento $L=30$ cm. O haltere repousa sobre uma mesa de ar horizontal. Um terceiro disco, rotulado por

3, de mesma massa m , desloca-se sobre a mesa com atrito desprezível e velocidade $v_0 = 3 \text{ m/s}$, perpendicularmente ao haltere. Ele colide frontalmente com o disco 2 e fica colado a ele. Desprezando o raio dos discos, determine:

- O vetor posição do centro de massa em função do tempo;
- O vetor velocidade do centro de massa;
- A velocidade angular do sistema depois da colisão;
- Determine a fração da energia mecânica inicial que é perdida no impacto.



44. Uma mesa de coquetel tem um tampo giratório, que é uma tábua circular de raio R e massa M , capaz de girar com atrito desprezível em torno de um eixo vertical da mesa. Uma bala de massa $m \ll M$ e velocidade v , disparada por um convidado, numa direção horizontal, vai encravar-se na periferia da tábua.

- Qual é a velocidade angular de rotação adquirida pela tábua?
- Que fração da energia cinética inicial é perdida no impacto?

45. Um alçapão quadrado de lado L e massa M está levantado verticalmente, em equilíbrio sobre as dobradiças, quando é levado a cair por uma ligeira trepidação. Desprezando o atrito, que velocidade angular terá adquirido ao bater no chão?

46. Um bloco de massa m_1 , que pode deslizar com atrito desprezível sobre um plano inclinado de inclinação θ em relação à horizontal, está ligado por um fio, que passa sobre uma polia de raio R e massa M , a uma massa suspensa m_2 ($m_2 > m_1$). O sistema é solto em repouso. Calcule, por conservação da energia, a velocidade v de m_2 após cair de uma altura h .

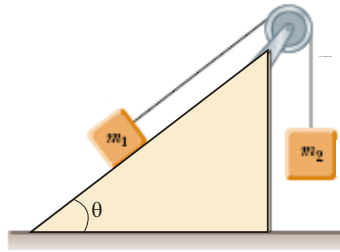


Figura 24: Esquema de massas e polia do exercício 46.

47. Um cilindro uniforme de raio R e massa M tem um fio enrolado sobre a sua superfície. O disco é solto do repouso com o fio vertical e com sua extremidade superior presa a uma barra fixa.

- Qual é a tensão no fio?
- Qual é o módulo da aceleração do centro de massa?
- Qual é a velocidade do centro de massa depois que o disco desce uma distância vertical h ?
- Verifique a resposta anterior utilizando o enfoque da energia.

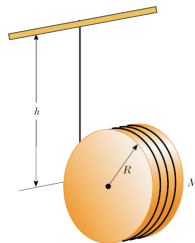


Figura 25: Cilindro do exercício 47.

48. Uma roda cilíndrica, de raio R e massa M , rola sem deslizar sobre um plano horizontal, deslocando-se com velocidade v ,

e sobe sobre um plano inclinado de inclinação θ , continuando a rolar sem deslizamento.

- Até que altura h o centro da roda subirá sobre o plano inclinado?
- Calcule a força de atrito entre o corpo e o plano inclinado para garantir que o movimento seja de rolamento sem deslizamento.

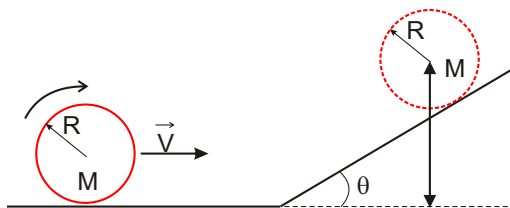


Figura 26: Roda cilíndrica subindo a rampa do exercício 48.

- Uma bola de boliche esférica e uniforme, de massa M e raio R , é lançada com velocidade inicial $v = 5 \text{ m/s}$ e com velocidade angular inicial nula. O coeficiente de atrito cinético entre a bola e a pista é $\mu_c = 0,3$. Determinar:
 - O tempo que a bola escorrega até atingir a condição de rolamento sem deslizamento;
 - A distância que a bola percorre antes de principiar a rolar sem escorregar.
- Uma bola de futebol, de massa $m = 400 \text{ g}$ e com diâmetro $D = 24 \text{ cm}$, rola sem deslizar sobre um plano inclinado. Ela parte do repouso e, depois de 5 s e tendo completado exatamente 10 rotações, escapa pela borda do plano inclinado. Considerando que $I_{\text{CM}}^{\text{bola}} = 2/3MR^2$, calcule:
 - O torque resultante sobre a bola relativo ao seu centro de massa, enquanto ela rola sobre o plano inclinado;

- (b) A energia de rotação da bola ao colidir com o solo.

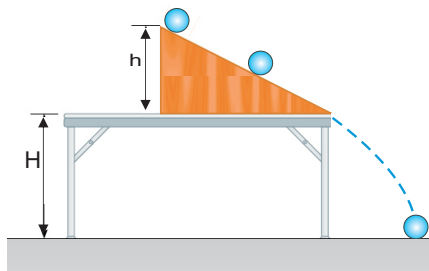


Figura 27: Bola descendo o plano inclinado do exercício 50.

51. Uma bola homogênea de raio r rola sem deslizar, a partir do repouso, desde o topo de um domo hemisférico de raio R .
- (a) Depois de percorrer que ângulo θ em relação à vertical a bola deixará a superfície?
 - (b) Com que velocidade v isso acontece?
 - (c) A que distância D da parede do domo ela cai?

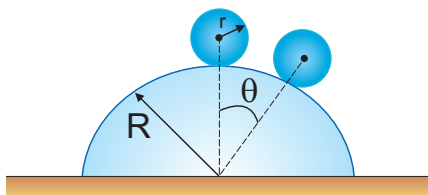


Figura 28: Bola rolando sobre um domo esférico do exercício 51.

52. Uma bola de bilhar de raio $R = 2,5$ cm e massa $m = 350$ g, inicialmente em repouso, recebe uma tacada seca. O impulso do taco é horizontal e aplicado à distância $2R/3$ abaixo da linha horizontal do centro. A velocidade linear da bola é $v_0 = 3$ m/s.

- (a) Qual é o vetor velocidade angular inicial ω_0 ?
- (b) Qual é o vetor velocidade linear da bola \vec{v}_r uma vez iniciado o rolamento sem escorregamento?
- (c) Qual a energia cinética inicial da bola?
- (d) Qual o trabalho da força de atrito?

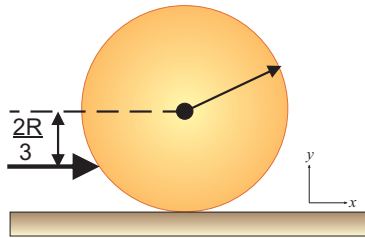
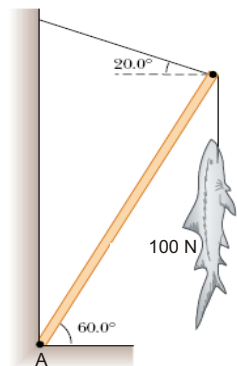


Figura 29: Bola de bilhar com tacada baixa do exercício 52.

2.5 Corpo rígido em equilíbrio

53. Na figura abaixo, a barra cujo peso é 20 N e o comprimento é L , está submetida à ação de várias forças.

- (a) Determine a tensão no fio que sustenta a barra.
- (b) Qual é o módulo da força exercida sobre a barra pela articulação A?
- (c) Se o fio que sustentam a barra e o peixe forem cortados, qual é a aceleração angular da barra exatamente no instante do corte?



- (d) Qual é a velocidade angular da barra quando esta atinge a posição horizontal?

54. Uma tábua de 90 N e 12 m de comprimento apóia-se em dois cavaletes, cada qual colocado a 1 m da extremidade da tábua. Um bloco 360 N é colocado sobre a tábua, a 3 m de uma extremidade. Determinar as forças exercidas pelos cavaletes sobre a tábua.

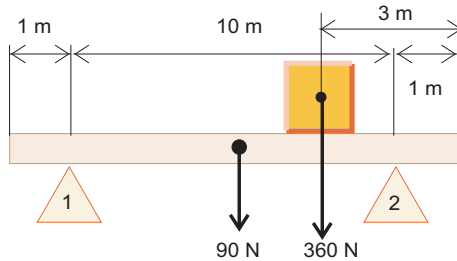
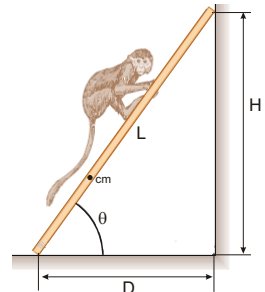


Figura 30: Tábua apoiada em cavaletes do exercício 54.

55. Uma escada de comprimento $L = 4,0$ m e massa $m = 15$ kg repousa apoiada numa parede. Sua extremidade superior está a uma altura $H = 3,0$ m do chão. O centro de gravidade da escada está situado a um terço do comprimento da escada, a partir da extremidade inferior. Um macaco de massa $m = 7$ kg sobe até um ponto situado na metade da escada. Suponha que não existe atrito entre a escada e a parede, mas que existe atrito entre a escada e o chão.

- (a) Determine as forças exercidas na escada pela parede e pelo chão.
- (b) Considere, agora, que o coeficiente de atrito estático entre a escada e o piso seja igual a 0,53. Determine a fração do comprimento da escada que o macaco poderá subir sem que a escada comece a deslizar.



- (c) Encontre os valores mínimo e máximo de μ_e , respectivamente, para que o macaco ou não possa sair do lugar ou possa chegar ao topo da escada, sem que ela comece a deslizar.
56. Na figura seguinte, considerando que a massa da barra horizontal é desprezível, pede-se:
- (a) Qual é o módulo das três forças que atuam na barra;
- (b) Qual é a força exercida pela barra sobre a articulação.

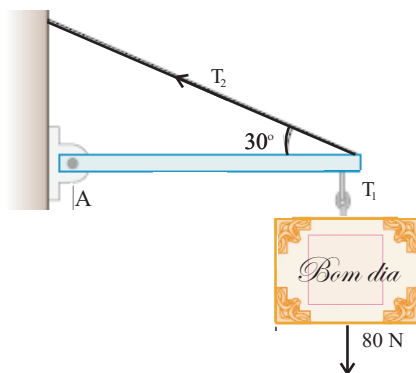


Figura 31: Esquema do exercício 56.

57. Uma barra homogênea, de massa $M = 1,0 \text{ kg}$ e comprimento $L = 0,75 \text{ m}$, está apoiada em um banquinho, com altura $h = 0,40 \text{ m}$, como mostra a figura 32. Sabendo que a distância $d = 0,30 \text{ m}$, e supondo que a barra está parada e que só há atrito no ponto onde a barra encosta no chão, calcule:
- (a) As forças de contato (normal) entre a cadeira e a barra (N_1) e entre a barra e o chão (N_2).
- (b) Calcule a força de atrito com o chão.

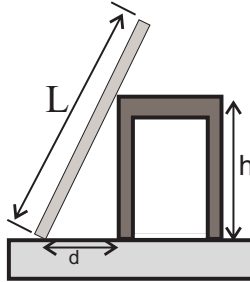


Figura 32: Esquema do exercício 57.

58. Na configuração da Figura 33, a barra tem peso 20 N e está submetida à ação de várias forças. Calcule a força R exercida pela articulação A sobre a barra.

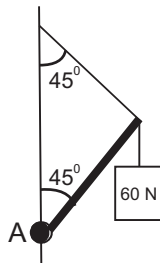


Figura 33: Esquema do exercício 58.

59. A figura 34 mostra uma roda de massa M e raio R sobre um superfície lisa, onde uma força horizontal é aplicada sobre ela.

- (a) Calcule F_1 para que a roda suba o degrau de altura $h < R$.

Se uma força horizontal (designada agora por F_2) for aplicada no topo da roda, ela fica em repouso. Nesse caso pede-se:

- (b) Qual será a força normal exercida pela superfície horizontal sobre a roda?
- (c) Qual a componente horizontal da força exercida pela aresta do degrau sobre a roda?
- (d) Qual a componente vertical da força exercida pela aresta do degrau na roda?

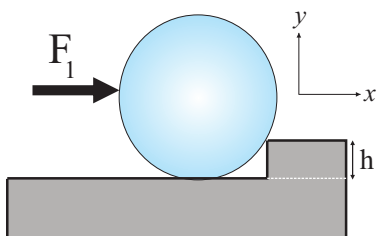


Figura 34: Roda subindo um degrau do exercício 59.

60. Considere uma barra homogênea, de comprimento $L=3$ m, massa $M = 90$ kg, e largura desprezível, mantida em equilíbrio suspensa por uma força F perpendicular à barra e aplicada a uma distância $d = 0,6$ m da extremidade. A outra extremidade se apoia no chão, dando uma inclinação $\theta = 27^\circ$. Calcule
- (a) A intensidade da força F e a força de atrito compatíveis com a situação;
 - (b) A intensidade da força de reação do solo (R) sobre a extremidade da barra.

2.6 O oscilador harmônico

61. Um bloco de massa M , capaz de deslizar com atrito desprezível sobre um trilho de ar horizontal, está preso a uma extremidade do trilho por uma mola de massa desprezível e

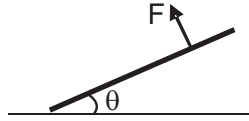
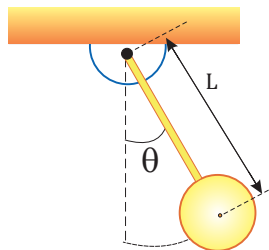


Figura 35: Esquema do exercício 60.

- constante elástica k , inicialmente relaxada. Uma bolinha de chiclete de massa m , lançada em direção ao bloco com velocidade horizontal v , atinge-o no instante $t=0$ e fica grudada nele. Ache a expressão do deslocamento $x(t)$ do sistema para $t > 0$.
62. Uma partícula cuja massa é $0,50$ kg move-se em um movimento harmônico simples. O período de oscilação é de $0,10$ s e a amplitude do movimento é $0,10$ m. Quando a partícula está a $0,050$ m da posição de equilíbrio pede-se:
- (a) Qual é magnitude da força que age sobre a partícula?
 - (b) Qual a sua energia cinética?
63. Uma partícula oscila em movimento harmônico simples com período $T = 2$ s. Inicialmente está na posição de equilíbrio com velocidade escalar de 4 m/s no sentido de x crescente. Escrever as expressões da sua posição $x(t)$, da sua velocidade $v(t)$ e da sua aceleração $a(t)$. Represente graficamente essas funções.
64. A posição de uma partícula é dada por $x(t) = \sin 2t$, onde x está em metros e t em segundos.
- (a) Qual é o valor máximo de x ? Qual é o primeiro instante depois de $t = 0$ s em que ocorre esse máximo?
 - (b) Determine $v(t)$. Qual é a velocidade em $t = 0$ s?
 - (c) Determine $a(t)$. Qual é a aceleração em $t = 0$ s?

- (d) Qual é o valor máximo da aceleração?
65. Um corpo de massa 500 g executa um movimento harmônico simples com um período de 0,5 s. A sua energia total é de 5 J.
- (a) Qual é a amplitude das oscilações?
 - (b) Qual é a velocidade máxima?
 - (c) Qual é a aceleração máxima?
66. Uma partícula de 200 g está presa a uma mola de constante $k = 5 \text{ N/m}$ e pode oscilar livremente sobre uma superfície horizontal sem atrito. Se a massa for deslocada de 5 cm da sua posição de equilíbrio determine:
- (a) O período do seu movimento;
 - (b) A máxima velocidade da partícula;
 - (c) A máxima aceleração da partícula.
 - (d) Expresse o deslocamento, a velocidade e a aceleração da partícula como função do tempo.
 - (e) Qual é a energia total do sistema?
67. Um pêndulo simples é formado por uma massa de 12 kg, puntiforme, suspensa no teto por um fio ideal de comprimento $L = 2,5 \text{ m}$. O pêndulo está inicialmente parado quando, em $t = 1 \text{ s}$, a massa recebe um impulso lateral que lhe confere uma velocidade horizontal inicial de 1 cm/s. Escreva a equação diferencial que descreve o movimento na aproximação de pequenas oscilações. Determine a posição angular $\theta(t)$, onde θ é o ângulo que o fio faz com a direção vertical. Sugestão: utilize $\theta(t) = \theta_0 \sin(\omega t + \varphi)$.

68. O **pêndulo físico** é constituído por uma esfera de raio r e massa m suspensa por um fio de comprimento $L-r$. A distância entre o centro da esfera e o ponto de suspensão O é igual a L . Muitas vezes, quando r é muito menor do que L , pode-se tratar o sistema como um pêndulo simples de comprimento L .



- (a) Utilizando o teorema dos eixos paralelos, calcular o momento de inércia em relação ao ponto de suspensão.
- (b) Escreva a equação de movimento do sistema e mostre que o período pode ser escrito como:

$$T = 2\pi \sqrt{\frac{L}{g} \left(1 + \frac{2r^2}{5L^2} \right)} = T_0 \sqrt{1 + \frac{2r^2}{5L^2}}$$

onde T_0 é o período de um pêndulo simples de comprimento L .

- (c) Usando a aproximação $(1+x)^\alpha \approx 1 + \alpha x$, válida para $x \ll 1$, mostre que no caso $r \ll L$ o período pode ser aproximado por:

$$T = T_0 \left\{ 1 + \frac{r^2}{5L^2} \right\}$$

- (d) Para $L=1$ m e $r=0,2$ m, calcule o período do pêndulo.

69. A uma mola de massa desprezível e constante $k = 21$ N/m se encontra presa ao teto. Na sua extremidade livre é pendurado um bloco de 300 g e o sistema é abandonado sob a ação do peso da massa e da força da mola. O sistema oscila harmonicamente, sem movimento pendular.

- (a) Qual é a elongação vertical (y_e) da mola, distância entre o ponto de equilíbrio da mola sem o bloco e do ponto de equilíbrio do sistema massa-mola?
- (b) Qual é a frequência das oscilações? E a amplitude das oscilações?
- (c) Escreva a equação do movimento e encontre $y(t)$.
70. Uma barra homogênea de massa M e comprimento L , suspensa por uma de suas extremidades (pêndulo físico), é deslocada da sua posição de equilíbrio, de um ângulo inicial θ_0 , e abandonada. Utilizando a aproximação de pequenas oscilações determine:
- (a) A frequência e o período do movimento;
- (b) A velocidade angular da barra ao passar pela posição de equilíbrio;
- (c) A posição angular do pêndulo físico em função do tempo.
- (d) Avalie as expressões encontradas nos itens anteriores assumindo que $\theta_0 = 0,1$ rad, $M = 100$ g e $L = 15$ cm.
71. Um disco homogêneo de raio R e massa M pode oscilar em torno de um eixo que passa pela sua borda. Determine seu período para pequenas oscilações e o comprimento do pêndulo simples equivalente.
72. Imagine um cilindro maciço, homogêneo, de massa $m=0,2$ kg, ligado a uma mola horizontal de massa nula, que pode rolar sem deslizar sobre uma superfície. A constante elástica da mola é $k = 3,0$ N/m. Desloca-se o cilindro até a posição em que a mola distende $0,25$ m, soltando-o em seguida.
- (a) Mostre que, nessas condições, o centro de massa do cilindro executa movimento harmônico simples com período
- $$T = 2\pi \left(\frac{3M}{2k} \right)^{1/2} .$$

- (b) Determine a frequência e a amplitude do movimento e escreva as expressões de $x(t)$, $v(t)$ e $a(t)$.
 - (c) Analise o comportamento da força de atrito, mostrando que é oscilatória, e determine o valor mínimo do coeficiente de atrito estático que garanta que haja rolamento sem deslizamento;
 - (d) Calcule as energias cinéticas de rotação e translação do cilindro, quando ele passa pela posição de equilíbrio.
73. Um oscilador, com massa de 50 g e período 2,0 s, tem uma amplitude que decresce 5% em cada ciclo. Determine:
- (a) A constante de amortecimento;
 - (b) A fração da energia dissipada em cada ciclo;
 - (c) O tempo necessário para que a amplitude de oscilação caia à metade do valor inicial.
74. O movimento de recuo de um canhão é amortecido sob o efeito de um sistema de molas imerso em óleo. A constante elástica do sistema de molas é $k = 7,0 \times 10^4$ N/m e a massa do canhão é 700 kg. Determinar o coeficiente ρ da força de resistência viscosa para que o cano do canhão volte à posição de equilíbrio o mais depressa possível, sem oscilar.
75. Um pêndulo simples oscila com período de 2 segundos e amplitude de 2° . Após dez oscilações completas a amplitude se reduz a $1,5^\circ$. Determine a constante de amortecimento γ .
76. Um corpo de massa $m = 0,5$ kg oscila sob a ação da força de uma mola, de constante elástica $k = 50,5$ N/m, e de uma força amortecedora $F = -dx/dt$. Sabendo-se que em $t = 0$ s o corpo é abandonado a uma distância x_0 da posição de equilíbrio,
- (a) Determine $x(t)$.

- (b) Calcule a variação percentual de energia durante o primeiro ciclo de oscilação.
77. Um corpo de massa $m = 50$ g está preso a uma mola e oscila livremente com uma frequência angular de 20 rad/s. Este oscilador é posteriormente colocado num meio cujo coeficiente de atrito viscoso é $\rho = 0,25$ kg/s. Nestas condições o oscilador é mantido em regime estacionário, devido a uma força externa $F = F_o \cos \omega t$ onde $F_o = 0,25$ N e $\omega = 20$ rad/s. Determine para esta última situação:
- (a) A equação diferencial que descreve o movimento. Escreva a equação explicitando os valores numéricos dos coeficientes indicando, também, suas respectivas unidades;
 - (b) A amplitude do movimento;
 - (c) Em que instantes a elongação é máxima em módulo.

Subitamente, a força externa é desligada, num instante em que a elongação é máxima. Determine para a nova situação:

- (d) A equação diferencial que descreve o movimento, explicitando os valores numéricos dos coeficientes bem como suas respectivas unidades;
 - (e) A frequência angular de oscilação.
78. Um corpo de massa $m = 50$ kg está preso a mola horizontal de constante elástica $k = 1,125 \times 10^4$ N/m. Uma força harmônica de amplitude $f_{\max} = 45$ N atua sobre o corpo ao longo da direção horizontal. Considerando-se a existência de atrito viscoso com o coeficiente $\rho = 100,0$ N · s/m determine para o regime estacionário:
- (a) A frequência de ressonância;
 - (b) A amplitude máxima de ressonância;

- (c) A defasagem entre o máximo da força harmônica e o máximo da amplitude.
79. Mostre que o valor médio da variação da energia no tempo de um oscilador amortecido forçado é nulo, ou seja, mostre que $\overline{\frac{dE}{dt}} = 0$.
80. Considere um sistema massa-mola imerso em um meio viscoso numa oscilação harmônica forçada. Determine:
- (a) A potência média fornecida ao sistema massa-mola;
 - (b) A potência fornecida ao sistema quando há ressonância.

3 Sistema de massa variável: propulsão de um foguete

As considerações sobre o momento linear são úteis para analisarmos um sistema cuja massa pode variar com o tempo. Neste caso não podemos usar diretamente a segunda lei de Newton na forma $m\vec{a} = \vec{F}_{resultante}$ porque a massa m varia. Para ilustrar o comportamento de um sistema de massa variável vamos considerar o movimento de um foguete, que se move no espaço longe da ação de qualquer campo gravitacional, e onde não existe resistência do ar. O foguete é impulsionado para a frente pela ejeção para trás dos gases resultantes da queima do combustível que estava dentro do foguete. A força sobre o foguete, orientada para a frente (no sentido do eixo x), é a reação da força para trás exercida sobre o combustível ejetado. A massa total do sistema é constante, porém a massa do foguete vai diminuindo à medida que o material é ejetado. A figura 36 mostra o foguete em um instante t , quando a sua massa é m e a sua velocidade é $\vec{v} = v\hat{i}$, onde escolhemos o eixo Ox com o sentido positivo no mesmo sentido do movimento do foguete. Nesta situação, o momento inicial do sistema, \vec{P}_i , é dado por:

$$\vec{P}_i = mv \hat{i} \quad (1)$$

No instante $(t + \Delta t)$, o foguete com massa $m - |\Delta m|$ move-se com velocidade $\vec{v}_{foguete} = (v + \Delta v)\hat{i}$ e a massa de gás expelida pela combustão $|\Delta m|$ move-se com velocidade $\vec{v}_{gas} = (v + \Delta v - \mu_e)\hat{i}$ em relação ao sistema de coordenadas indicado (referencial inercial) sendo μ_e a velocidade de expulsão dos gases em relação ao foguete. Portanto, o momento do sistema no instante $(t + \Delta t)$ é dado por:

$$\begin{aligned} \vec{P}_f &= m_{foguete}\vec{v}_{foguete} + m_{gas}\vec{v}_{gas} \\ &= (m - |\Delta m|)(v + \Delta v)\hat{i} + |\Delta m|(v + \Delta v - \mu_e)\hat{i} \quad (2) \end{aligned}$$

De acordo com nossa hipótese inicial, o foguete e o combustível constituem um sistema isolado, isto é, a força externa resultante

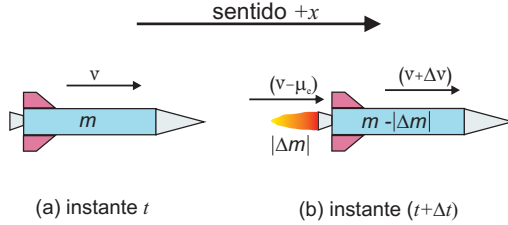


Figura 36: **(a)** O foguete movendo-se no espaço sideral, sendo m a sua massa e $\vec{v} = v\hat{i}$ o seu vetor velocidade no instante t . **(b)** No instante $(t + \Delta t)$, a massa do foguete é $m - |\Delta m|$ e a sua velocidade é $\vec{v}_{\text{foguete}} = (v + \Delta v)\hat{i}$; a massa de gás expelida pela combustão é $|\Delta m|$, e sua velocidade em relação ao sistema de coordenadas indicado (referencial inercial) é $\vec{v}_{\text{gas}} = (v + \Delta v - \mu_e)\hat{i}$.

é nula ($F_{\text{externa}} = 0$). Portanto, existe conservação do momento linear, ou seja:

$$\frac{d\vec{P}_{\text{sistema}}}{dt} = F_{\text{externa}} = 0 \Rightarrow \vec{P} \text{ se conserva.} \quad (3)$$

Logo, o momento do sistema deve ser o mesmo no instante t e no instante $(t + \Delta t)$: $\vec{P}_i = \vec{P}_f$. Igualando as equações 2 e 3 obtemos:

$$mv = (m - |\Delta m|)(v + \Delta v) + |\Delta m|(v + \Delta v - \mu_e) \quad (4)$$

Desenvolvendo a expressão 4 ficamos com:

$$m\Delta v - |\Delta m|\mu_e = 0 \quad (5)$$

Dividindo a expressão anterior por Δt e tomando o limite de Δt tendendo a zero podemos escrever:

$$m \lim_{\Delta t \rightarrow 0} \left(\frac{\Delta v}{\Delta t} \right) = \mu_e \lim_{\Delta t \rightarrow 0} \left(\frac{|\Delta m|}{\Delta t} \right) \quad (6)$$

ou

$$m \frac{dv}{dt} = \mu_e \left| \frac{dm}{dt} \right| \quad (7)$$

A grandeza $\mu_e \left| \frac{dm}{dt} \right|$ é a força de propulsão do foguete. Desde que $\left(\frac{dm}{dt} \right)$ é negativo (pois o foguete está perdendo massa), podemos trocar

$$\mu_e \left| \frac{dm}{dt} \right| \rightarrow - \left(\frac{dm}{dt} \right) \quad (8)$$

e a equação 7 fica:

$$\boxed{m \frac{dv}{dt} = -\mu_e \frac{dm}{dt}} \quad (9)$$

A equação 9 é conhecida como *equação do foguete*. Integrando-a obtemos:

$$\int_{v_f}^{v_i} dv = \int_{m_f}^{m_i} \frac{d}{m} \quad (10)$$

que resulta

$$v_f - v_i = -\mu_e [\ln m_f - \ln m_i] = +\mu_e \ln \left(\frac{m_i}{m_f} \right) \quad (11)$$

A equação 11 é a variação da velocidade do foguete em termos da velocidade escalar de ejeção dos gases de descarga e da razão entre a massa inicial e final do foguete. A massa do foguete sem qualquer combustível é denominada **carga útil**. Na análise feita, imaginamos que o foguete se deslocava no espaço vazio sem campo gravitacional. Contudo quando um foguete é lançado da superfície de um planeta, devemos levar em conta a ação do campo gravitacional. Neste caso, calculando a variação do momento linear e igualando esta variação com o impulso temos:

$$\Delta \vec{P}_{sistema} = \vec{P}_f - \vec{P}_i = m \Delta \vec{v} - \mu_e |\Delta m| = \vec{F}_{externa} \Delta t \quad (12)$$

Dividindo a expressão anterior por Δt e tomando o limite de Δt tendendo a zero podemos escrever:

$$m \lim_{\Delta t \rightarrow 0} \left(\frac{\Delta v}{\Delta t} \right) = \mu_e \lim_{\Delta t \rightarrow 0} \left(\frac{|\Delta m|}{\Delta t} \right) + F_{externa} \quad (13)$$

Quando o foguete se desloca nas vizinhanças da superfície da Terra, a força externa $F_{externa}$ é o peso do foguete.

3.1 Exercício resolvido

A massa inicial de um foguete é 20.000 kg, dos quais 20% é a carga útil. A taxa de queima do combustível é 200 kg/s e os gases de descarga são ejetados a 2 km/s (em relação ao foguete). Determinar a força de propulsão do foguete e a velocidade escalar final quando o combustível está todo gasto, admitindo que não existam forças externas.

Resolução: Os dados do exercício são:

- $m_i = 20.000 \text{ kg} = 20 \times 10^6 \text{ g}$
- $m_f = 4.000 \text{ kg} = 4 \times 10^6 \text{ g}$ (carga útil)
- $\left| \frac{dm}{dt} \right| = 200 \text{ kg/s} = 200 \times 10^3 \text{ g/s}$
- $\mu_e = 2 \text{ km/s} = 2000 \text{ m/s}$

A força de propulsão é dada por:

$$\begin{aligned} F &= \mu_e \left| \frac{dm}{dt} \right| = (2000 \text{ m/s}) \times (200 \times 10^3 \text{ g/s}) \\ &= 4 \times 10^8 \text{ N} \end{aligned}$$

Utilizando a equação 11, podemos calcular a velocidade final. Admitindo que o foguete parta do repouso temos:

$$\begin{aligned} v_f &= +\mu_e \ln \left(\frac{m_i}{m_f} \right) \\ &= (2000 \text{ m/s}) \ln \left(\frac{20.000}{4.000} \right) = 2000 \ln 5 \approx 3,22 \text{ km/h} \end{aligned}$$

3.2 Exercício proposto

Um foguete está no espaço sideral, longe de qualquer planeta, quando então seu motor é acionado. Na primeira etapa da queima de combustível, o foguete ejeta $\frac{1}{120}$ da sua massa com uma velocidade relativa igual a 2400 m/s. Suponha que a massa útil do foguete seja $m = \frac{m_0}{4}$ e que o combustível seja consumido com uma taxa constante em um intervalo de tempo total de 90 s. Se o foguete parte do repouso em nosso sistema de coordenadas, calcule:

- (a) Qual é a aceleração inicial do foguete? [Resposta : $a = 20 \text{ m/s}^2$]
- (b) Qual é a velocidade do foguete depois de 90 s de movimento? [Resposta : $v = 3327 \text{ m/s}$]
- (c) Qual é a velocidade do gás (no nosso sistema de coordenadas) quando $t=90 \text{ s}$? [Resposta : $v_{\text{gas}} = 927 \text{ m/s}$]

4 Resumo sobre oscilações forçadas amortecidas

A equação que descreve o movimento harmônico forçado é dada por:

$$m\ddot{x} + \rho\dot{x} + kx = F_0 \cos(\omega t) \quad (14)$$

Dividindo a expressão anterior pela massa m obtemos:

$$\ddot{x} + \gamma\dot{x} + \omega_0^2 x = \frac{F_0}{m} \cos(\omega t) \quad (15)$$

onde definimos $\gamma = \rho/m$ e $\omega_0^2 = k/m$.

A solução geral da equação 14 é dada por:

$$x(t) = x_p(t) + x_h(t) \quad (16)$$

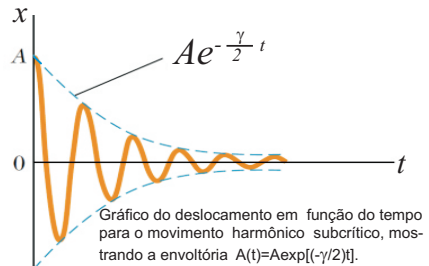
onde x_p é a solução particular (solução estacionária) e x_h é a solução da equação homogênea (solução transiente).

A solução homogênea pode ser:

1. **Subcrítico** ($\frac{\gamma}{2} < \omega_0$):

$$x(t) = Ae^{-\frac{\gamma}{2}t} \cos(\omega t + \varphi)$$

$$\text{sendo } \omega = \sqrt{\omega_0^2 - \frac{\gamma^2}{4}}$$



2. **Crítico** ($\frac{\gamma}{2} = \omega_0$):

$$x(t) = e^{-\frac{\gamma}{2}t} [A + Bt]$$

3. **Supercrítico** ($\frac{\gamma}{2} > \omega_0$):

$$x(t) = e^{-\frac{\gamma}{2}t} [Ae^{\beta t} + Be^{-\beta t}] \quad \text{sendo } \beta = \sqrt{\frac{\gamma^2}{4} - \omega_0^2}$$

As soluções homogêneas tendem a zero para $t \rightarrow \infty$, tornando-se desprezíveis para tempos maiores que T_d (o tempo de decaimento).

Por outro lado, a força externa continua suprindo energia ao sistema indefinidamente de modo que as oscilações forçadas devem persistir e para $t \gg T_d$ vão sobreviver apenas as oscilações forçadas, correspondendo à solução particular da equação inhomogênea.

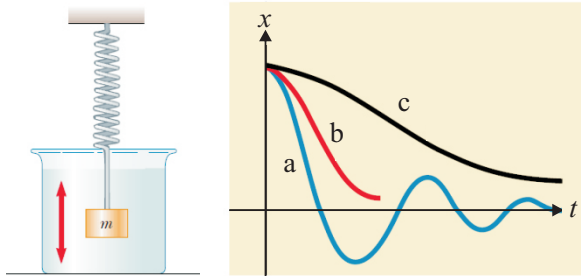


Figura 37: Gráfico do deslocamento em função do tempo para o movimento de oscilador com amortecimento: (a) subcrítico; (b) crítico e (c) supercrítico.

4.1 Forma trigonométrica de um número complexo

Um número complexo pode ser escrito como a soma de um número real e um número imaginário puro:

$$z = x + iy \quad (17)$$

O número complexo z pode ser representado geometricamente no plano complexo como um segmento orientado (vetor) da origem ao ponto (x, y) . Podemos escrevê-lo em coordenadas polares utilizando as relações: $x = r \cos \theta$ e $y = r \sin \theta$. Então teremos:

$$z = x + iy = r(\cos \theta + i \sin \theta) = re^{i\theta} \quad (18)$$

que é a forma trigonométrica do número complexo.

O módulo de z é dado por:

$$|z| = r = \sqrt{x^2 + y^2} \quad (19)$$

e θ chama-se argumento de z , dado por:

$$\theta = \tan^{-1}(y/x) \quad (20)$$

4.2 Como achar a solução particular

Consideremos a equação 14 para uma função complexa:

$$\ddot{z} + \gamma\dot{z} + \omega_0^2 z = \frac{F_0}{m} e^{i\omega t} \quad (21)$$

e procuremos uma solução da forma:

$$z(t) = C e^{i\omega t} \quad (22)$$

onde C é uma constante complexa arbitrária. Substituindo $z(t)$, $\dot{z} = (i\omega) e^{i\omega t}$ e $\ddot{z} = (-\omega^2) e^{i\omega t}$ na Eq. 21 obtemos:

$$-\omega^2 C e^{i\omega t} + \gamma(i\omega) C e^{i\omega t} + \omega_0^2 C e^{i\omega t} = \frac{F_0}{m} e^{i\omega t} \quad (23)$$

Simplificando a expressão anterior temos:

$$C(-\omega^2 + \gamma(i\omega) + \omega_0^2) = \frac{F_0}{m} \quad (24)$$

ou

$$C = \frac{F_0/m}{(\omega_0^2 - \omega^2) + i\gamma\omega} \quad (25)$$

A constante complexa C é o quociente de dois números complexos:

$$C = \frac{z_1}{z_2} \quad (26)$$

onde

$$z_1 = \frac{F_0}{m} + i0 \quad (27)$$

e

$$z_2 = (\omega_0^2 - \omega^2) + i\gamma\omega \quad (28)$$

Podemos ainda reescrever o número complexo z_1 como:

$$z_1 = r_1 e^{i\theta_1} \quad (29)$$

onde

$$r_1 = \frac{F_0}{m} \quad (30)$$

e

$$\tan \theta_1 = 0 \Rightarrow \theta_1 = 0 \quad (31)$$

O número complexo z_2 pode ser escrito na forma

$$z_2 = r_2 e^{i\theta_2} \quad (32)$$

onde

$$r_2 = \sqrt{(\omega_0^2 - \omega^2)^2 + (\gamma^2 \omega^2)} \quad (33)$$

e

$$\tan \theta_2 = \frac{\gamma\omega}{(\omega_0^2 - \omega^2)} \quad (34)$$

Com estas definições podemos reescrever a eq. 26 como:

$$C = \frac{z_1}{z_2} = \frac{r_1 e^{i\theta_1}}{r_2 e^{i\theta_2}} = \frac{r_1}{r_2} e^{i(\theta_1 - \theta_2)} = \frac{r_1}{r_2} e^{-i\theta_2} \quad (35)$$

uma vez que $\theta_1 = 0$. Substituindo os valores de r_1 (eq. 29) e r_2 (eq. 33) podemos reescrever a eq. 35 como:

$$C = \frac{(F_0/m)}{\sqrt{(\omega_0^2 - \omega^2)^2 + (\gamma^2 \omega^2)}} e^{-i\theta_2} = A e^{i\varphi} \quad (36)$$

onde

$$A = \frac{(F_0/m)}{\sqrt{(\omega_0^2 - \omega^2)^2 + (\gamma^2 \omega^2)}} \quad (37)$$

$$\varphi = -\theta_2 = -\tan^{-1} \left[\frac{\gamma\omega}{(\omega_0^2 - \omega^2)} \right] \quad (38)$$

Estamos interessados apenas na parte real de z , ou seja:

$$x(t) = \operatorname{Re}(z(t)) = \operatorname{Re}(Ae^{i\varphi}e^{i\omega t}) \quad (39)$$

$$x(t) = \operatorname{Re} [A(\cos \varphi + i \sin \varphi)(\cos \omega t + i \sin \omega t)]$$

$$x(t) = A(\cos \varphi \cos \omega t - \sin \varphi \sin \omega t)$$

$$x_p(t) = A [\cos(\omega t - \varphi)]$$

onde a constante A é dada pela expressão 37 e a fase pela expressão 38.

5 Solução do exercício 16

(a) Seja \vec{p}_{1i} o momento da partícula incidente de massa m_1 . Então o momento do sistema na configuração inicial é $\vec{P}_i = \vec{p}_{1i} = m_1 \vec{v}_{1i}$. Se \vec{p}_{1f} e \vec{p}_{2f} são os momentos finais das duas partículas, o momento do sistema na configuração final é $\vec{P}_f = \vec{p}_{1f} + \vec{p}_{2f}$.

Por causa da conservação do momento, $\vec{P}_i = \vec{P}_f$, teremos:

$$\vec{p}_{1i} = \vec{p}_{1f} + \vec{p}_{2f} \Rightarrow \boxed{\vec{p}_{2f} = \vec{p}_{1i} - \vec{p}_{1f}} \quad (40)$$

Como estamos supondo a colisão elástica, temos a conservação da energia:

$$\frac{p_{1i}^2}{2m_1} = \frac{p_{1f}^2}{2m_1} + \frac{p_{2f}^2}{2m_2} \Rightarrow \boxed{\frac{p_{2f}^2}{m_2} = \frac{1}{m_1} (p_{1i}^2 - p_{1f}^2)} \quad (41)$$

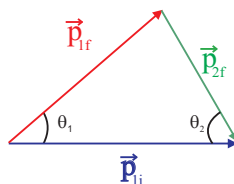
Elevando a expressão 40 ao quadrado obtemos:

$$\vec{p}_{2f} \cdot \vec{p}_{2f} = (\vec{p}_{1i} - \vec{p}_{1f}) \cdot (\vec{p}_{1i} - \vec{p}_{1f}) \quad (42)$$

Esta expressão ainda pode ser desenvolvida como:

$$p_{2f}^2 = p_{1i}^2 + p_{1f}^2 - 2\vec{p}_{1i} \cdot \vec{p}_{1f} \quad (43)$$

Por causa da conservação do momento, os vetores \vec{p}_{1i} , \vec{p}_{1f} e \vec{p}_{2f} estão dispostos como no triângulo representado na figura ao lado. O produto escalar do terceiro termo no lado direito da equação 43 pode ser escrito como $2\vec{p}_{1i} \cdot \vec{p}_{1f} = 2p_{1i}p_{1f}\cos\theta_1$. Desta forma, a expressão 43 pode ser reescrita como:



$$p_{2f}^2 = p_{1i}^2 + p_{1f}^2 - 2p_{1i}p_{1f}\cos\theta_1 \quad (44)$$

Substituindo a expressão 44 em 41 obtemos:

$$p_{1i}^2 + p_{1f}^2 - 2p_{1i}p_{1f}\cos\theta_1 = \lambda p_{1i}^2 - \lambda p_{1f}^2 \quad (45)$$

onde introduzimos o parâmetro adimensional

$$\lambda = \frac{m_2}{m_1}.$$

Os termos da expressão 45 podem ser reagrupados e obtemos a equação do segundo grau:

$$(1 + \lambda)p_{1f}^2 - 2p_{1i}\cos\theta_1 p_{1f} + (1 - \lambda)p_{1i}^2 = 0 \quad (46)$$

Para que esta equação do segundo grau tenha solução devemos ter que:

$$\Delta = 4p_{1i}^2\cos^2\theta_1 - 4(1 + \lambda)(1 - \lambda)p_{1i}^2 \geq 0 \quad (47)$$

ou

$$4p_{1i}^2[\cos^2\theta_1 - (1 - \lambda^2)] \geq 0 \Rightarrow \cos^2\theta_1 \geq (1 - \lambda^2) \quad (48)$$

Em nosso problema, $\lambda = \frac{m_2}{m_1} = \frac{1}{4}$. Então, obtemos a condição:

$$\cos^2\theta_1 \geq \left(1 - \left(\frac{1}{4}\right)^2\right) \Rightarrow \cos^2\theta_1 \geq \frac{15}{16} \Rightarrow$$

$$\boxed{\theta_1 \leq 14,5^\circ}$$

(b) Como

- Energia cinética inicial da partícula α : $E_c^\alpha = \frac{p_{1i}^2}{4m}$
- Energia cinética do neutron de recuo: $E_c^n = \frac{p_{2f}^2}{m}$

então para obtermos que fração da energia cinética incidente vai para o neutron, devemos escrever o momento linear final do neutron (p_{2f}) em função do momento linear inicial da partícula α (p_{1i}). Temos então que, para $\theta_1 = 14,5^\circ$, a solução da equação 46 é:

$$p_{1f} = \frac{4}{5} p_{1i} \sqrt{\frac{15}{16}} \quad (49)$$

Substituindo este resultado na equação 41, encontramos p_{2f} em função de p_{1i} :

$$p_{2f}^2 = \frac{m_2}{m_1} \left[p_{1i}^2 - \frac{15}{25} p_{1i}^2 \right] \Rightarrow p_{2f}^2 = \frac{1}{10} p_{1i}^2 \quad (50)$$

Desse modo:

$$\boxed{\frac{E_c^n}{E_c^\alpha} = \frac{4 p_{2f}^2}{p_{1i}^2} = \frac{4}{10} = 0,40}$$

Portanto, 40% da energia incidente vai para o neutron de recuo.

(c) Para obter o ângulo θ_2 entre a direção de recuo e a de incidência é melhor escrever as equações de conservação do momento linear nas direções x e y :

$$\text{direção } x: \quad p_{1f} \cos \theta_1 + p_{2f} \cos \theta_2 = p_{1i} \quad (51)$$

$$\text{direção } y: \quad p_{1f} \sin \theta_1 - p_{2f} \sin \theta_2 = 0 \quad (52)$$

Da equação 51 temos que

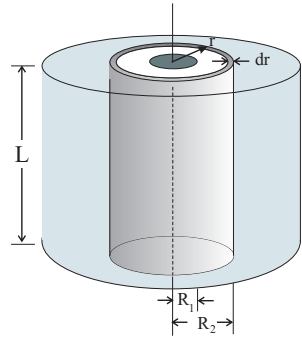
$$\sin \theta_2 = \frac{p_{1f}}{p_{2f}} \sin \theta_1 \quad (53)$$

Substituindo os resultados obtidos da relação entre p_{1f} e p_{2f} com p_{1i} , equações 49 e 50, na equação 53, e fazendo $\theta_1 = 14,5^\circ$, temos

$$\boxed{\sin \theta_2 = \frac{\sqrt{150}}{20} \approx 0,61 \Rightarrow \theta_2 = 37,5^\circ}$$

6 Solução do exercício 27

Escolhemos como elemento de volume uma casca cilíndrica fina de raio r , espessura dr e comprimento L . Todas as partes desse elemento de massa estão situadas a uma mesma distância do eixo do cilindro. O volume do elemento é aproximadamente igual ao volume de uma placa com comprimento L , espessura dr e largura $2\pi r$ (a circunferência da casca cilíndrica). Portanto



$$dm = \rho dV = \rho(2\pi r L dr).$$

O momento de inércia é dado por

$$\begin{aligned} I &= \int r^2 dm = \int_{R_1}^{R_2} r^2 \rho(2\pi r L dr) \\ &= 2\pi \rho L \int_{R_1}^{R_2} r^3 dr \\ &= \frac{2\pi \rho L}{4} (R_2^4 - R_1^4) \\ &= \frac{\pi \rho L}{2} (R_2^2 - R_1^2)(R_2^2 + R_1^2) \end{aligned}$$

Geralmente é mais conveniente expressar o momento de inércia em função da massa total M do corpo, que é a sua densidade ρ multiplicada pelo volume total V . O volume é

$$V = \pi L (R_2^2 - R_1^2),$$

de modo que a massa é

$$M = \rho V = \pi L \rho (R_2^2 - R_1^2),$$

e o momento de inércia é

$$I = \frac{1}{2}M(R_2^2 + R_1^2).$$

No caso de um cilindro maciço, temos $R_1 = 0$. Chamando o raio externo R_2 simplesmente de R , verificamos que o momento de inércia de um cilindro maciço de raio R é dado por

$$I = \frac{1}{2}MR^2.$$

Caso o cilindro possua uma parede muito fina (como um tubo), $R_1 \approx R_2$; se designarmos por R o raio comum, obtemos

$$I = MR^2.$$

7 Respostas dos exercícios

7.1 Sistemas de partículas: conservação do momento linear

- (a) $\vec{R}_{\text{CM}} = \frac{16}{15} \hat{i} + \frac{20}{15} \hat{j}$ (m);
 - (b) $\vec{R}_{\text{CM}} = \frac{5}{6} \hat{i} + \frac{3}{6} \hat{j} + \frac{1}{6} \hat{k}$ (m);
 - (c) $\vec{R}_{\text{CM}} = -\frac{1}{4} \hat{i}$ (m).
- (a) $\vec{R}_{\text{CM}}(t) = \left[\frac{1}{4} t^2 + \frac{3}{2} \right] \hat{i} + \left[-\frac{3}{16} t^2 + \frac{15}{8} \right] \hat{j}$ (m);
 - (b) $\vec{P} = 8t \hat{i} - 6t \hat{j}$ (kg · m/s).
- (a) $\vec{V}_{\text{avião}} = \vec{V}_{\text{CM}} = 75 \hat{i} + 12,5 \hat{j}$ (m/s);
 - (b) $\vec{P} = 6 \times 10^5 \hat{i} + 1 \times 10^5 \hat{j}$ (kg · m/s).
- (a) $E_c = 64,0 \text{ J}$ e $\vec{V}_{\text{CM}} = 3,5 \hat{i}$ (m/s);
 - (b) $\vec{u}_1 = 1,5 \hat{i}$ (m/s) e $\vec{u}_2 = -2,5 \hat{i}$ (m/s);
 - (c) $E_{\text{rel}} = 15,0 \text{ J}$.
 - (d) $E_{\text{CM}} = 49,0 \text{ J}$.
- (a) $\vec{v}_2 = 6,0 \hat{i} - 4,0 \hat{j}$ (m/s);
 - (b) $\vec{V}_{\text{CM}} = 4,0 \hat{i}$ (m/s).
- (a) $x_2 = 120\sqrt{3}$ m;
 - (b) $\Delta E = +7200,0 \text{ J}$.
- (a) $D = 4,5$ m;
 - (b) A energia mecânica não se conserva, pois a energia cinética inicial é nula e a energia cinética final é diferente de zero, sendo que a energia potencial não se altera. A energia cinética final é igual a 9,45 J.

8. O remador não consegue alcançar a estaca. Faltam 20 cm.
9. (a) $\vec{v} = +1,88 \hat{i}$ (m/s);
 (b) $\vec{v}_c = +1,50 \hat{i}$ (m/s);
 (c) $\vec{v}_c = +1,13 \hat{i}$ (m/s);
10. (a) $\vec{v}_T = -6 \hat{i}$ (m/s);
 (b) $\vec{I} = -12 \hat{i}$ (N · s);
 (c) $\vec{F} = -240 \hat{i}$ (N).
11. (a) $\vec{v} = -3 \hat{i}$ (m/s);
 (b) $\Delta s = 64,3$ cm.

7.2 Sistema de partículas: colisões

12. (a) $H = 45,0$ cm ; (b) $h = 11,5$ cm.
13. $H = 4$ m.
14. (a) $v_{\text{bala}} \approx 95$ m/s.
 (b) 98% da energia mecânica inicial se perde na colisão.
15. (a) $v_{1f} = 3$ m/s e $v_{2f} = 8$ m/s.
 (b) A energia transferida é de 32 J.
16. Resolução na página 55 da apostila.
 (a) $\theta_1 = 14,5^\circ$;
 (b) $\frac{E_c^n}{E_c^\alpha} = 0,4$; (c) $\theta_2 \approx 37,5^\circ$
17. $v_f \approx 61$ km/h.
18. $\vec{v}_{\text{CM}} = \frac{1}{4} [25 \hat{i} + 50 \hat{j}]$ (m/s).
 O carro foi arrastado em uma direção que faz um ângulo $\theta \approx 63,4^\circ$ com o eixo x , por uma distância de 19,53 m.

19. $v_{1f} = 5\sqrt{3} \text{ m/s}$, $v_{2f} = 5 \text{ m/s}$ e $\theta_2 = 60^\circ$.
20. (a) $\vec{v}_{2f} = 4\hat{i} - 3\hat{j} \text{ (m/s)}$.
 (b) Choque inelástico. A variação da energia cinética foi $\Delta E_c = +12 \text{ J}$.
21. (a) $\vec{v}_{\text{bloco}} = 2,68\hat{i} \text{ (m/s)}$.
 (b) $\vec{v}_{\text{bala}} = 1432\hat{i} \text{ (m/s)}$.
22. (a) $W = +4 \text{ J}$.
 (b) Depois da colisão a velocidade da bola é $v_{\text{bola}} = -2,4 \text{ m/s}$ e a do bloco é $v_{\text{bloco}} = +1,6 \text{ m/s}$.
 (c) $H = 28,8 \text{ cm}$. (d) $\Delta s = 80 \text{ cm}$.

7.3 Cinemática e dinâmica do movimento de corpos rígidos

23. (a) Partículas nas posições $x_1 = \pm 0,2 \text{ m} \Rightarrow v_1 = 0,4 \text{ m/s}$.
 Partículas nas posições $x_2 = \pm 0,4 \text{ m} \Rightarrow v_2 = 0,8 \text{ m/s}$.
 (b) Energia cinética do sistema $\Rightarrow E_c = 1,12 \text{ J}$.
 (c) Momento de inércia do sistema $\Rightarrow I = 0,56 \text{ kg} \cdot \text{m}^2$.
24. (a) $I_y = 2ma^2$ e $E_c = ma^2\omega^2$.
 (b) $I_z = 2m(a^2 + b^2)$ e $E_c = (a^2 + b^2)m\omega^2$.
25. $I_z = \frac{1}{12}ML^2$ e $I_{z'} = \frac{1}{3}ML^2$
26. $I = \frac{1}{2}MR^2$
27. No cilindro vazado a massa M está distribuída em uma distância média maior, em relação ao eixo. Resolução na página 56 da apostila.

28. $I_z = \frac{1}{2}M(R_1^2 + R_2^2)$
29. (a) $\vec{\tau} = -2,4 \hat{k}$ (N · m);
 (b) $\vec{\alpha}(t) = -\frac{200}{3} \hat{k}$ (rad/s²);
 (c) $\vec{\omega}(3) = -200 \hat{k}$ (rad/s) e $E_c = 720$ J;
 (d) $\Delta\vec{\theta}_{0 \rightarrow 3} = -300 \hat{k}$ (rad) e $W = \vec{\tau} \cdot \Delta\vec{\theta} = 720$ J.
30. (a) $\vec{\tau}_R = -1,56 \hat{k}$ (N · m);
 (b) $\vec{\alpha} = -108,33 \hat{k}$ (rad/s²);
 (c) $\vec{\omega}(t) = -(4 + 108,33t) \hat{k}$ (rad/s);
 (d) $E_c = 779,3$ J;
 (e) $\Delta\vec{\theta}_{0 \rightarrow 3} = -499,5 \hat{k}$ (rad) e $W = \vec{\tau} \cdot \Delta\vec{\theta} = 779,3$ J.
31. (a) $\vec{a}_{CM}(t) = +0,2 \hat{i}$ (m/s²);
 $\vec{v}_{CM}(t) = +0,2t \hat{i}$ (m/s);
 $\vec{r}_{CM}(t) = +0,1t^2 \hat{i}$ (m).
 (b) $\vec{\alpha}(t) = +\frac{10}{3} \hat{k}$ (rad/s²);
 $\vec{\omega}(t) = +\frac{10}{3}t \hat{k}$ (rad/s);
 $\vec{\theta}(t) = +\frac{10}{6}t^2 \hat{k}$ (rad).
 (c) O cilindro dará 6,63 voltas.
 (d) $E_c = 2550$ J.
32. (a) $E_c = 13,16$ J.
 (b) $\vec{\alpha} = -7,33 \hat{k}$ (rad/s²).
 (c) $\vec{\tau} = -0,036 \hat{k}$ (N · m).
 (d) $W = -13,16$ J.
33. (a) $m_2 = 8$ kg.

- (b) $\vec{\alpha} = 0,84 \hat{k}$ (rad/s²), $T_1 = 347,9$ N e $T_2 = 88,1$ N.
34. (a) $T_1 = 120,3$ N e $T_2 = 160,0$ N.
 (b) $I = 1,25$ kg · m².
35. (a) $a = \frac{m_2 g}{m_1 + m_2 + M/2}$;
 $T_1 = \frac{m_1 m_2 g}{m_1 + m_2 + M/2}$ e
 $T_2 = m_2 g \left[\frac{m_1 + M/2}{m_1 + m_2 + M/2} \right]$
- (b) $\tau = m_2 g R$, saindo ou entrando na página;
 (c) $L = (m_1 + m_2 + M/2) v R$, na mesma direção e no mesmo sentido do torque.
36. (a) $v = \left[\frac{2(m_2 - m_1)gh}{m_1 + m_2 + M/2} \right]^{1/2} = 2,76$ (m/s) e
 $\omega = 27,6$ rad/s.
 (b) $T_1 = 238$ N e $T_2 = 243$ N.
 (c) $t = 1,45$ s.

7.4 Momento angular, sua conservação e aplicações

37. $\vec{\ell}_0 = -m v b \hat{k}$ e $\vec{\ell}_{0'} = m v b' \hat{k}$
38. (a) O torque é nulo.
 (b) $\vec{\ell}_o = +m v R \hat{k} = m R^2 \omega \hat{k}$;
39. (a) $\delta \ell = 0,60$ m.
 (b) $\omega_f / \omega_i = 2,04$.
40. (a) $|\vec{L}| = 420$ kg · m²/s (direção perpendicular ao chão).

- (b) $|\vec{\omega}| = 7,14 \text{ rad/s}$ (mesma direção e sentido de L).
- (c) $E_c^a = E_c^d = 1500 \text{ J}$ (se conserva).
41. (a) $\omega_f = \left[\frac{I_1}{I_1 + I_2} \right] \omega_1$
- (b) A energia cinética do sistema diminui: $E_f = \left[\frac{I_1}{I_1 + I_2} \right] E_i$.
42. $t = 2,2 \text{ s}$.
43. (a) $\vec{R}_{CM}(t) = \frac{1}{3}v_0t \hat{i} + \frac{L}{3} \hat{j} = t \hat{i} + 0,1 \hat{j} \text{ (m)}$.
- (b) $\vec{V}_{CM}(t) = \frac{1}{3}v_0 \hat{i} = 1 \hat{i} \text{ (m/s)}$.
- (c) $\vec{\omega} = \frac{v_0}{2L} \hat{k} = 5 \hat{k} \text{ (rad/s)}$.
- (d) 50% da energia inicial foi perdida na colisão.
44. (a) $\omega = \frac{2mv}{MR}$;
- (b) $\frac{E_f}{E_i} = \frac{2m}{M}$ e a fração da energia cinética inicial perdida na colisão é $f = \left(\frac{2m}{M} - 1 \right)$
45. $\omega = \sqrt{\frac{3g}{L}}$.
46. $v = \left[\frac{2gh(m_2 - m_1 \sin \theta)}{m_1 + m_2 + M/2} \right]^{1/2}$
47. (a) $T = \frac{Mg}{3}$.
- (b) $a = \frac{2}{3}g$.
- (c) $v = \left[\frac{4}{3}gh \right]^{1/2}$.

48. (a) $h = R + \frac{3v^2}{4g}$. (b) $F_{\text{at}} = \frac{Mg \sin \theta}{3}$
49. (a) $t = \frac{10}{21}$ s.
 (b) $D = 2,04$ m.
50. (a) $\tau = 1,93 \times 10^{-2}$ N · m; (b) $E_{\text{rot}} = 1,2$ J.
51. (a) $\theta \approx 54^\circ$.
 (b) $v = \left[\frac{10}{17} g (R + r) \right]^{1/2}$.
52. (a) $\vec{\omega}_0 = \frac{5}{3} \frac{v_0}{R} \hat{k} = 200 \hat{k}$ (rad/s).
 (b) $\vec{v}_r = \frac{5}{21} v_0 \hat{i} = \frac{5}{7} \hat{i} = 0,714 \hat{i}$ (m/s) e
 $\vec{\omega}_r = -\frac{5}{21} R v_0 \hat{k} = -\frac{1}{56} \hat{k} = -0,018 \hat{k}$ (rad/s)
 (c) $E_c^i = \frac{19}{18} m v_0^2 = \frac{133}{40} = 3,325$ J.
 (d) $W_{\text{at}} = -\frac{64}{63} m v_0^2 = -\frac{16}{5} = -3,200$ J.

7.5 Corpo rígido em equilíbrio

53. (a) $T = 55,85$ N.
 (b) O vetor força na articulação é $\vec{A} = 52,48 \hat{i} + 100,90 \hat{j}$ (N).
 (c) $\alpha = \frac{3g}{4L}$.
 (d) $\omega^2 = \frac{3g\sqrt{3}}{2L}$.
54. $N_1 = 117$ N e $N_2 = 333$ N.
55. (a) As intensidades das forças são:

- Entre a parede e a tábua: $N_1 = 75 \text{ N}$;
- Entre o chão e a tábua: $N_2 = 220 \text{ N}$ e $F_{\text{at}} = 75 \text{ N}$.

(b) $r = 1,175 > 1$, ou seja, pode subir, sobre a escada, uma distância de até $D = 1,175 L = 4,7 \text{ m}$. Este resultado significa que o macaco pode subir até o topo da escada que ela não deslizará.

(c) $\mu_e^{\text{mín}} = 0,341 \Rightarrow r = \frac{1}{2} \Rightarrow$ o macaco não pode se mexer, senão a escada escorrega.

$\mu_e^{\text{máx}} = 0,481 \Rightarrow r = 1 \Rightarrow$ o macaco pode subir exatamente até o topo da escada, sem que ela escorrega.

56. (a) $T_1 = 80 \text{ N}$, $T_2 = 160 \text{ N}$ e o vetor força na articulação é $\vec{A} = 80\sqrt{3} \hat{i} = 138,6 \hat{i} \text{ (N)}$.

(b) $\vec{F}_B = -\vec{A} = -80\sqrt{3} \hat{i} = -138,6 \hat{i} \text{ (N)}$.

57. (a) $N_1 = 4,5 \text{ N}$ e

(b) $N_2 = 7,3 \text{ N}$.

(c) $F_{\text{at}} = 3,6 \text{ N}$.

58. $R_x = 35 \text{ N}$ e $R_y = 45 \text{ N}$.

59. (a) $\vec{F}_1 > \frac{Mg\sqrt{2RH - H^2}}{R - H} \hat{i}$

(b) $\vec{N} = \left[Mg - \frac{F_2\sqrt{2R - H}}{H} \right] \hat{j}$

(c) $\vec{N}_H = -F_2 \hat{i}$

(d) $\vec{N}_V = \frac{F_2\sqrt{2R - H}}{H} \hat{j}$

60. (a) $F = 501,2 \text{ N}$ e $F_{\text{at}} = 227,5 \text{ N}$.

(b) $R = 507,3 \text{ N}$.

7.6 O oscilador harmônico

61. $x(t) = A \cos(\omega_0 t + \varphi)$ onde $A = \frac{mv}{(m + M)\omega_0}$,
 $\omega_0 = \sqrt{k/(m + M)}$ e $\varphi = -\pi/2$.
62. (a) $F = 10\pi^2$ N; (b) $E = 0,75\pi^2$ J.
63. $x(t) = \frac{4}{\pi} \cos(\pi t - \pi/2)$;
 $v(t) = -4 \sin(\pi t - \pi/2)$;
 $a(t) = -4\pi \cos(\pi t - \pi/2)$.
64. (a) $x_{\text{máx}} = 1$ m e ocorre em $t = \pi/4$ s.
(b) $v(t) = 2 \cos(2t)$ e $v(t = 0) = 2$ m/s.
(c) $a(t) = -4 \sin(2t)$ e $a(t = 0) = 0$.
(d) A aceleração é máxima para $t = \frac{(2n + 1)\pi}{4}$ s,
onde $n = \text{inteiro}$, e seu valor em módulo é $a = 4$ m/s².
65. (a) $A = \frac{\sqrt{5}}{2\pi}$ m.
(b) $v_{\text{máx}} = 2\sqrt{5}$ m/s.
(c) $a_{\text{máx}} = 8\sqrt{5}\pi$ m/s².
66. (a) $T = 0,4\pi$ s.
(b) $v_{\text{máx}} = 0,25$ m/s.
(c) $a_{\text{máx}} = 1,25$ m/s².
(d) Em unidades no SI:
 - $x(t) = 0,05 \cos(5t)$;
 - $v(t) = -0,25 \sin(5t)$;
 - $a(t) = -1,25 \cos(5t)$.
- (e) $E = 62,5 \times 10^{-4}$ J.

67. $\theta(t) = 0,002 \sin(2t - 2)$.
68. (a) $I_O = mL^2 \left[1 + \frac{2r^2}{5L^2} \right]$.
- (b) Equação: $I_O \frac{d^2\theta}{dt^2} + mgL \sin \theta = 0$.
- (c) O período do pêndulo será: $T = T_0 (1 + 8 \times 10^{-3})$ s.
69. (a) $y_e = \frac{mg}{k} = \frac{1}{7}$ (m).
- (b) $\omega_0^2 = \frac{k}{m} = 70 \text{ s}^{-2} \rightarrow \omega_0 \approx 8,4 \text{ s}^{-1}$ e $A = y_e = \frac{1}{7}$ (m).
- (c) $y(t) = \frac{mg}{k} [1 + \cos(\omega_0 t)] = \frac{1}{7} [1 + \cos(\sqrt{70} t)]$ (m).
70. (a) $\omega_0 = \sqrt{\frac{3g}{2L}}$ e $T = \frac{2\pi}{\omega_0} = 2\pi \sqrt{\frac{2L}{3g}}$.
- (b) $\omega = -\theta_0 \omega_0 = -\theta_0 \sqrt{\frac{3g}{2L}}$.
- (c) $\theta(t) = \theta_0 \cos(\omega_0 t) = \theta_0 \cos \left[\sqrt{\frac{3g}{2L}} t \right]$.
- (d) $\omega_0 = 10 \text{ rad/s}$; $T = \frac{\pi}{5} \text{ s}$; $\omega = 1 \text{ rad/s}$
e $\theta(t) = 0,1 \cos(10t)$.
71. $T = 2\pi \sqrt{\frac{3R}{2g}}$ e $L_{eq} = \frac{3}{2}R$.
72. (b) $\omega_0 = \sqrt{10} \text{ rad/s}$ e $A = 0,25\text{m}$;
- $x(t) = 0,25 \cos(\sqrt{10} t)$ (m)
 - $\dot{x}(t) = -0,25 \sqrt{10} \sin(\sqrt{10} t)$ (m/s)
 - $\ddot{x}(t) = -2,5 \cos(\sqrt{10} t)$ (m/s²)

$$(c) \mu_e^{\min} = 0,125;$$

$$(d) E_r = \frac{1}{32} \text{ J} \quad e \quad E_t = \frac{2}{32} \text{ J}.$$

73. (a) $\rho = 2,565 \text{ g/s}$

(b) $\frac{\Delta E}{E} = 9,75\%$. (c) $t = 27 \text{ s}$.

74. $\rho = 1,4 \times 10^4 \text{ N} \cdot \text{s/m}$.

75. $\gamma = 0,0288 \text{ s}^{-1}$.

76. (a) $x(t) = Ae^{-t} \cos(10t + \varphi)$ onde $\varphi = 5,73^\circ$ e $A = \frac{x_0}{\cos \varphi}$

(b) $\frac{\Delta E}{E} = -0,72 \Rightarrow 72\%$.

77. (a) $\ddot{x} + 5\dot{x} + 400x = 5 \cos(20t)$

(b) $A = 0,05 \text{ m}$

(c) $t = \frac{(2n+1)\pi}{20} \text{ s}$

(d) $\ddot{x} + 5\dot{x} + 400x = 0$

(e) $\omega = 19,84 \text{ s}^{-1}$

78. (a) $\omega_R = 14,93 \text{ s}^{-1}$

(b) $A_R = 0,03 \text{ m}$ (c) $\varphi \approx 86,2^\circ$

79. A expressão que descreve a variação da energia total em

função do tempo é: $\frac{dE}{dt} = \dot{x} [m\ddot{x} + kx]$. Como

$$x(t) = A(\omega) \cos(\omega t + \varphi)$$

$$\dot{x}(t) = -\omega A(\omega) \sin(\omega t + \varphi)$$

$$\ddot{x}(t) = -\omega^2 x(t),$$

substituindo estas equações na expressão de $\frac{dE}{dt}$, temos:

$$\frac{dE}{dt} = A^2 m \omega (\omega^2 - \omega_0^2) \sin[2(\omega t + \varphi)] \Rightarrow \overline{\frac{dE}{dt}} = 0.$$

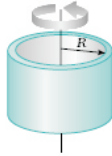
80. (a) $\bar{P}(\omega) = \frac{\gamma F_0^2}{2m} \frac{\omega^2}{[(\omega_0^2 - \omega^2)^2 + \gamma^2 \omega^2]}.$

(b) Na ressonância $\omega_R = \omega_0$ e $\bar{P}(\omega) = \frac{F_0^2}{2m\gamma}$

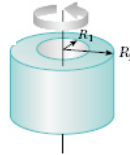
8 Tabela de momentos de inércia

Momentos de inércia de corpos homogêneos de várias formas

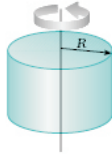
- a) Cilindro oco com paredes finas
 $I = MR^2$



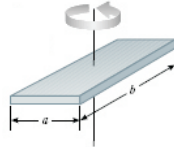
- b) Cilindro oco
 $I = \frac{M(R_1^2 + R_2^2)}{2}$



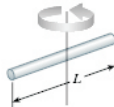
- c) Cilindro maciço
 $I = \frac{MR^2}{2}$



- d) Placa retangular
 $I = \frac{M(a^2 + b^2)}{12}$



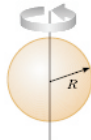
- e) Barra delgada
 $I = \frac{ML^2}{12}$



- f) Barra delgada
 $I = \frac{ML^2}{3}$



- g) Esfera maciça
 $I = \frac{2MR^2}{5}$



- h) Casca esférica
 $I = \frac{2MR^2}{3}$

